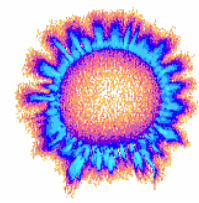


# Esencias Triunidad<sup>®</sup> y GDV-EPC



## Estudio de la eficacia sobre el CEH<sup>1</sup> de las Esencias Triunidad<sup>®</sup>

(Elaboradas por el método de Fusión Alquímicamente creado por Carmen Romanelli)

Mediciones realizadas mediante Bioelectrografía GDV-EPC  
Sistema GDV<sup>2</sup>-EPC<sup>3</sup> del Dr. Korotkov

Tecnología desarrollada en la Universidad Estatal de San Petersburgo

---

Eusebio González Martín

Ingeniero Técnico – Licenciado en Psicología

Investigador en Bioelectrografía autorizado por la IUMAB\*-España

(\*International Union of Medical and Applied Bioelectrography)

<sup>1</sup> CEH: Campo de Energía Humano

<sup>2</sup> GDV: Gas Discharge Visualitation

<sup>3</sup> EPC: ElectroPhotonic Capture

---

# INDICE

<b>1. OBJETIVO DEL ESTUDIO.....</b>	<b>Pág.03</b>
<b>2. MEDICIONES.....</b>	<b>Pág.03</b>
<b>3. HIPÓTESIS.....</b>	<b>Pág.03</b>
<b>4. RESULTADOS GRÁFICOS OBTENIDOS (Imágenes GDV-EPC).....</b>	<b>Pág.03</b>
<b>5. COMENTARIOS DE LAS Imágenes GDV-EPC.....</b>	<b>Pág.18</b>
<b>6. CONCLUSIONES.....</b>	<b>Pág.22</b>
<b>7. ANEXO.....</b>	<b>Pág.23</b>

“Si quieres mejorar algo, mídelo,  
actúa y vuelve a medirlo”.  
Primer Principio en Ingeniería de Calidad

## 1. OBJETIVO DEL ESTUDIO

El objeto de este estudio es comprobar la eficacia sobre el CEH de las Esencias Triunidad®, elaboradas por el método de fusión alquímica creado por Carmen Romanelli.

Para este estudio se administraron al sujeto experimental un vaso de agua mineral y 3 gotas de la Esencia Triunidad® TARAXACUM.

## 2. MEDICIONES

El Sistema GDV-EPC desarrollado por Dr. Konstantin Korotkov es un sistema que mide el estado del CEH (Campo de Energía Humano) y permite estudiarlo desde el método científico.

En un primer momento se mide el estado bioenergético de la persona, hombre de 26 años.

En segundo lugar se mide el efecto sobre su CEH tras la toma de un vaso de agua y 3 gotas de la Esencia Triunidad® TARAXACUM.

Las mediciones GDV-EPC se denominan BioGramas, éstos son el punto de partida de todo el análisis GDV-EPC. El sistema capta la emisión electrofotónica<sup>1</sup> (ElectroPhotonic Capture) que todo ente material emite. En este caso la emisión electrofotónica que emiten las yemas de los dedos (en ellas se encuentran los 49 meridianos bioenergéticos susceptibles de medición). El estudio es de Caso Único. El sistema GDV-EPC genera imágenes para grupos de 10 BioGramas.

## 3. HIPÓTESIS

Hipótesis: comprobar que la toma de Esencias Triunidad® mejora el estado del CEH de la persona, reestructurándolo.

## 4. RESULTADOS GRÁFICOS OBTENIDOS (Imágenes GDV-EPC)

En las siguientes páginas se presentan las distintas Gráficas que han resultado del estudio realizado a “Esencias Triunidad®” utilizando para ello el sistema GDV-EPC del Dr.Korotkov.

(1) Emisión electrofotónica: Alexander Gavrilovich Gurwitsch (1874-1954) fue un biólogo ucraniano que descubrió el biofotón. Su gran aportación fue el descubrimiento de que los sistemas celulares biológicos se comunican entre sí en el rango UV (UltraVioleta), en emisión ultradébil. Es ésta emisión UV lo que capta el sistema GDV-EPC, de ahí las siglas EPC, ElectroPhotonic Capture. Y también de ahí el nombre de “BioGramas”, representación gráfica de la Vida. La Vida es sustentada por los electrofotones, también denominados “electrones phi”, electrones que tienen asociados un fotón.



Figura 01. BioGramas, antes de la toma de “Esencias Trinidad® (TARAXACUM)”



Figura 02. BioGramas, después de la toma de “Esencias Trinidad® (TARAXACUM)”

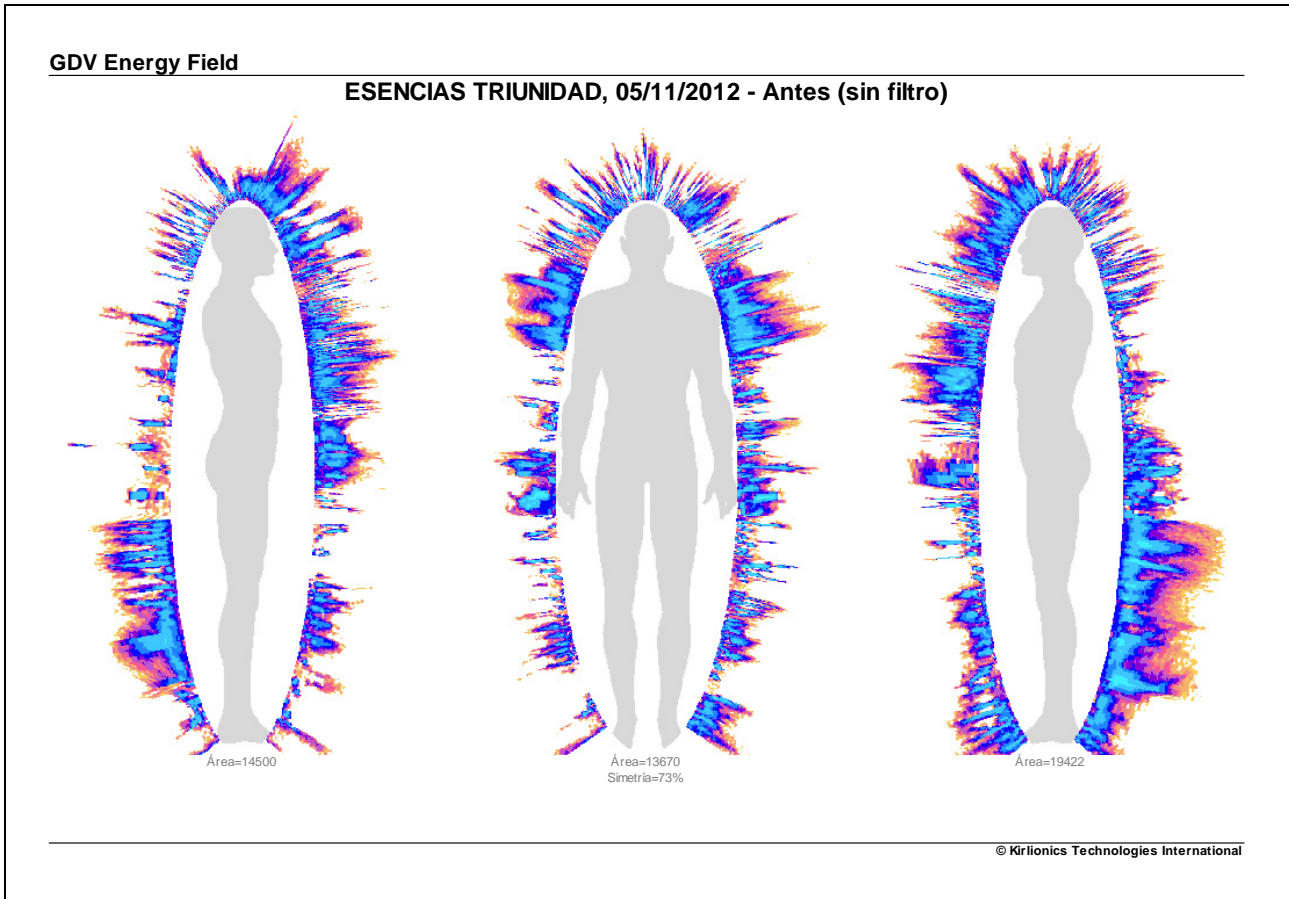


Figura 03. Energy Field, **antes** de la toma de "Esencias Triunidad® (TARAXACUM)"

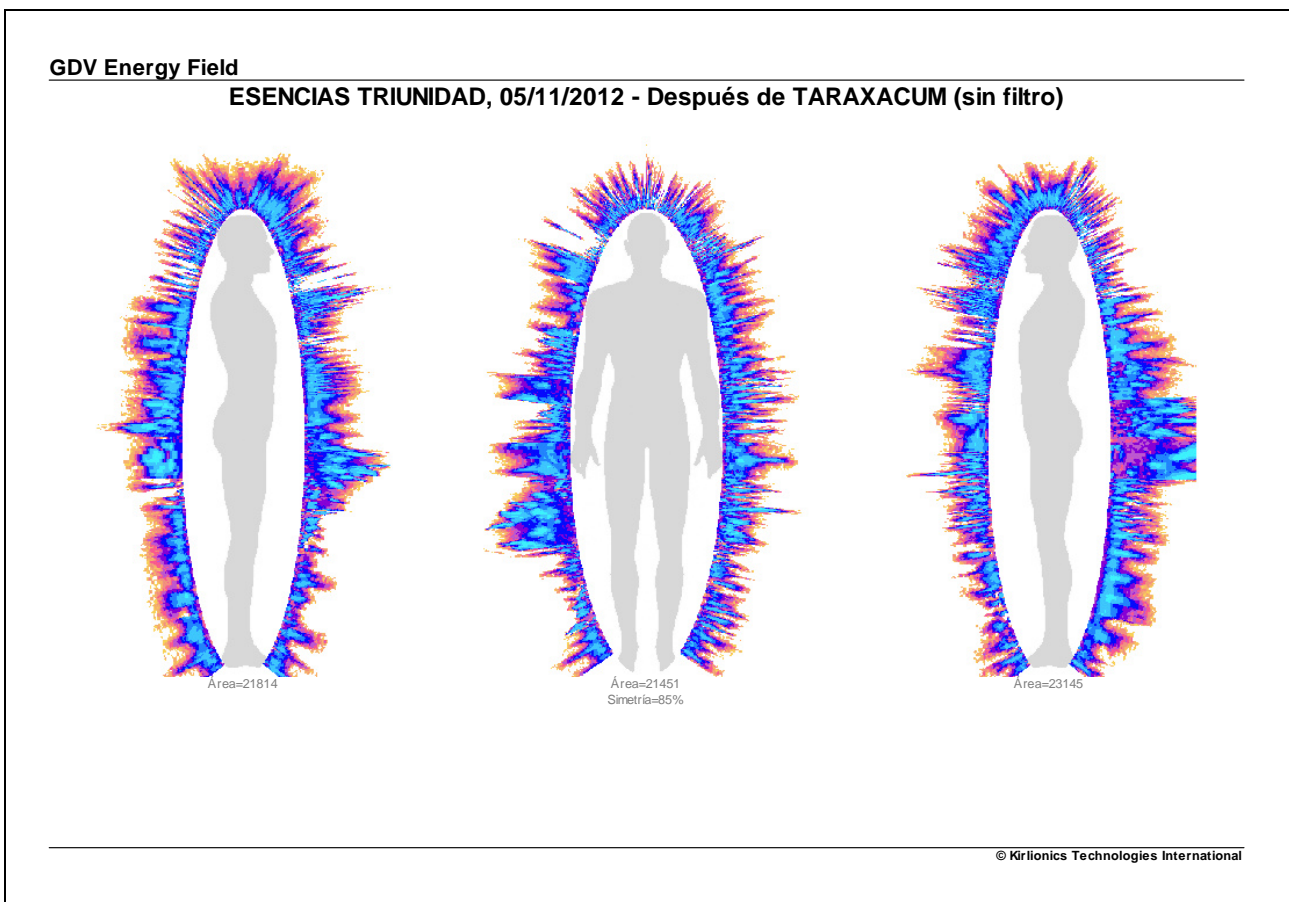


Figura 04. Energy Field, **después** de la toma de "Esencias Triunidad® (TARAXACUM)"

## Esencias Triunidad® - Energy Field Pixels electro-fotónicos activos

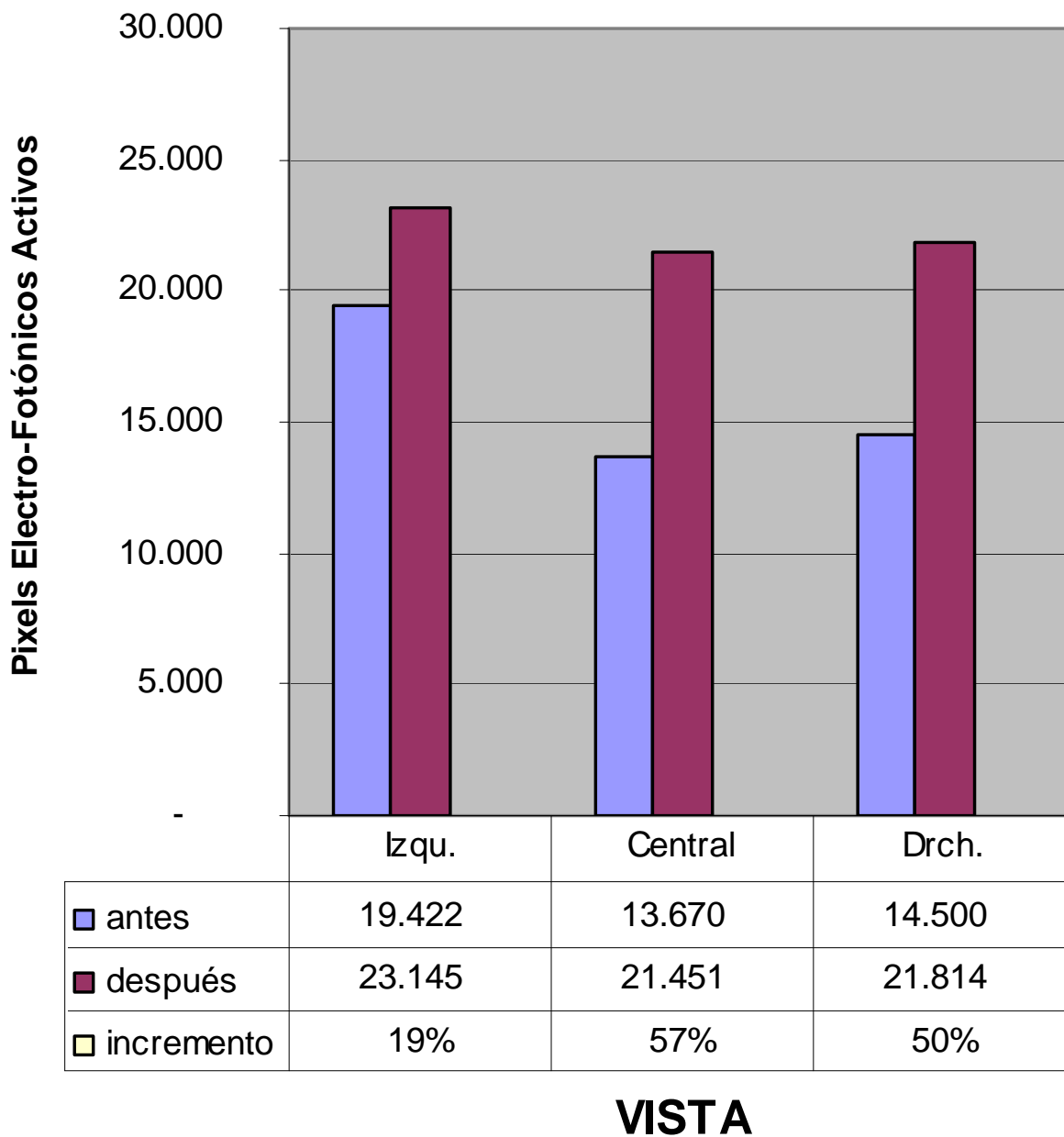


Figura 05. Energy Field (Pixels ElectroFotónicos Activos)  
Comparativa antes VS después de la toma de "Esencias Triunidad® (TARAXACUM)"

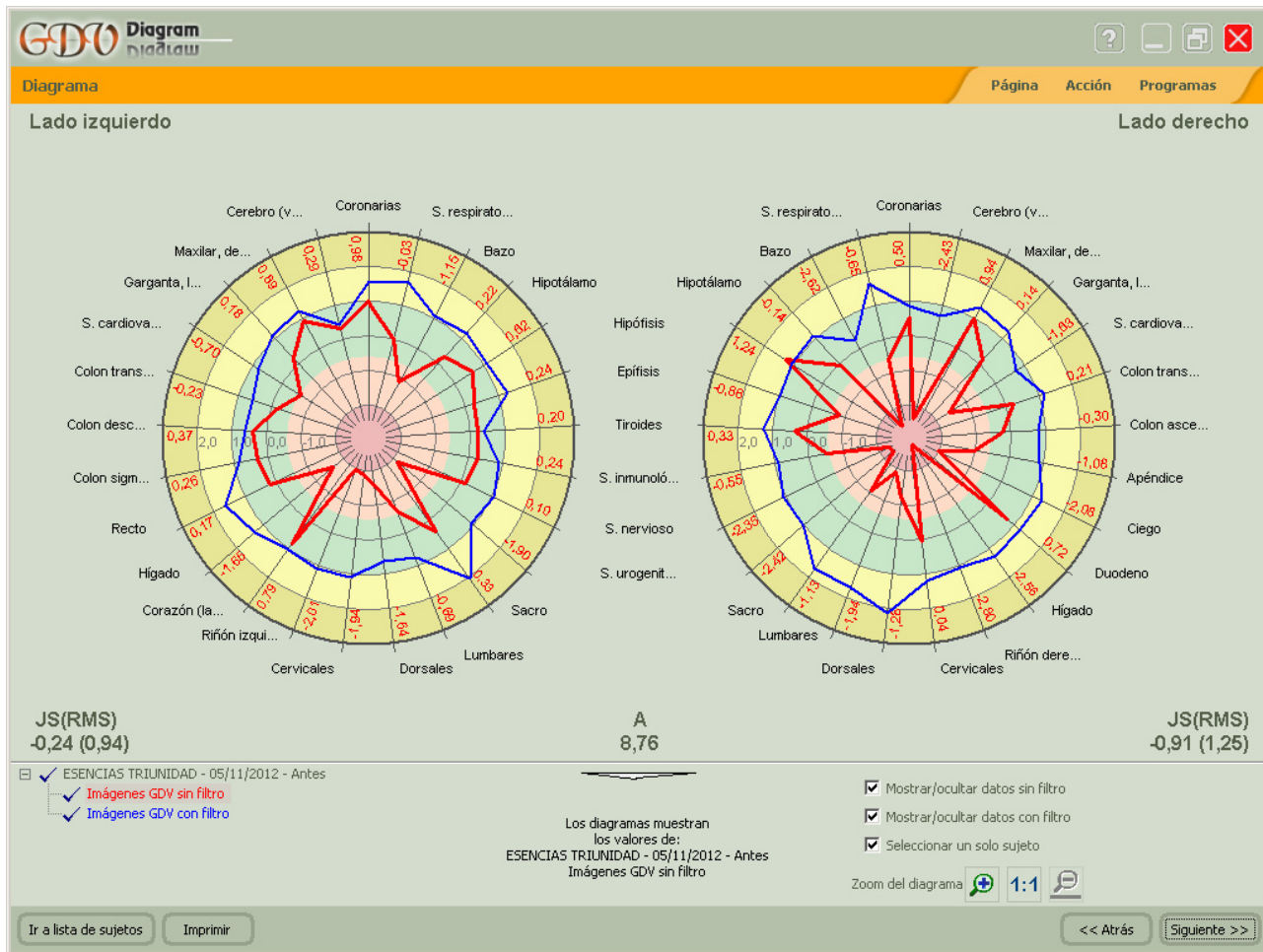


Figura 06. Diagram, **antes** de la toma de “Esencias Trinidad® (TARAXACUM)”

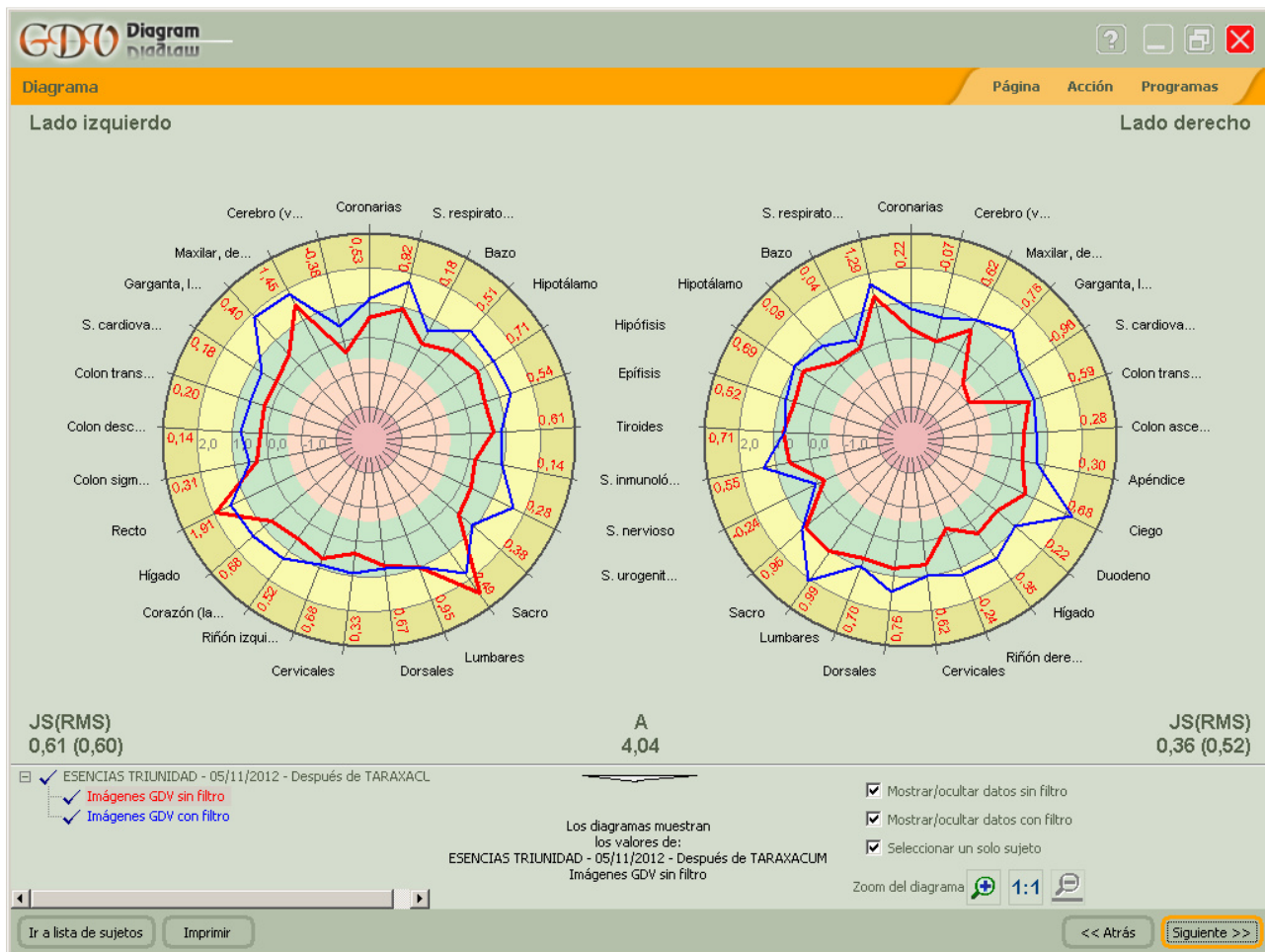


Figura 07. Diagram, **después** de la toma de “Esencias Trinidad® (TARAXACUM)”



Figura 08. Nivel de Energía Vital, antes VS después de la toma de “Esencias Trinidad® (TARAXACUM)”

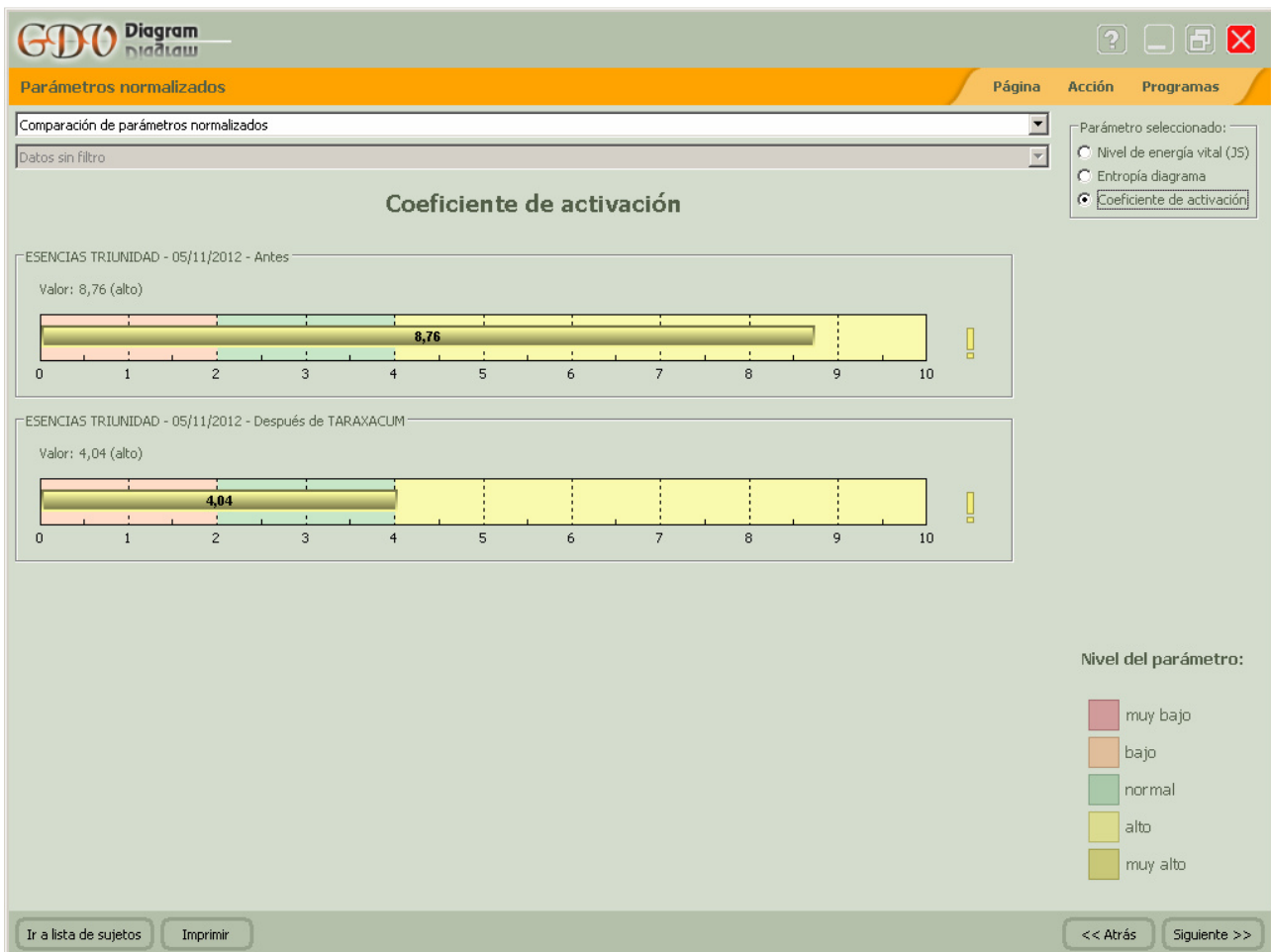


Figura 09. Coeficiente de Activación, antes VS después de la toma de “Esencias Trinidad® (TARAXACUM)”



## GDV Diagram

**ESENCIAS TRIUNIDAD - 05/11/2012 - Antes**  
**Imágenes GDV sin filtro**

	Dedo y sector	Lado izquierdo	Lado derecho	Media	Diferencia
Ojo dcho.	1R 1 + 1L 1	0,11	0,03	0,07	0,08
Oído dcho., nariz, seno maxilar	1R 2 + 1L 2	-0,07	0,99	0,46	-1,06
Maxilar, dentadura dcha.	1R 3 + 1L 3	-1,81	0,94	-0,44	-2,75
Garganta, laringe, tráquea, tiroides	1R 4 + 1L 4	0,18	0,14	0,16	0,04
Maxilar, dentadura izda.	1R 5 + 1L 5	0,89	-1,04	-0,08	1,93
Oído izdo., nariz, seno maxilar	1R 6 + 1L 6	0,78	-0,36	0,21	1,14
Ojo izdo.	1R 7 + 1L 7	0,42	0,19	0,31	0,24
Cerebro (córtex)	1R 8 + 1L 8	-0,21	-0,29	-0,25	0,08
Cervicales	2R 1 + 2L 8	-1,94	0,04	-0,95	-1,98
Dorsales	2R 2 + 2L 7	-1,64	-1,28	-1,46	-0,36
Lumbares	2R 3 + 2L 6	-0,69	-1,94	-1,31	1,25
Sacro	2R 4 + 2L 5	0,33	-1,13	-0,40	1,46
Coxis, pelvis menor	2R 5 + 2L 4	0,26	-1,70	-0,72	1,96
Ciego	2R 6		-2,08		
Apéndice	2R 7		-1,08		
Colon ascendente	2R 8		-0,30		
Colon transversal	2R 9 + 2L 9	-0,23	0,21	-0,01	-0,44
Colon descendente	2L 1	0,37			
Colon sigmoide	2L 2	0,26			
Recto	2L 3	0,17			
Tórax, s. respiratorio	3R 1 + 3L 6	0,81	-0,60	0,10	1,41
S. inmunológico	3R 2 + 3L 5	0,24	-0,55	-0,16	0,79
Vesícula biliar	3R 3		-2,23		
Hígado	3R 4 + 3L 3	-1,65	-2,56	-2,11	0,91
Riñón derecho	3R 5		-2,80		
S. cardiovascular	3R 6 + 3L 1	-0,70	-1,63	-1,16	0,93
Cerebro (vasos)	3R 7 + 3L 7	0,29	-2,43	-1,07	2,72
Riñón izquierdo	3L 2	-2,01			
Abdomen	3L 4	-0,31			
Hipófisis	4R 1 + 4L 8	0,62	1,24	0,93	-0,62
Tiroides	4R 2 + 4L 7	0,20	0,33	0,27	-0,12
Pancreas	4R 3 + 4L 6	-0,30	-0,64	-0,47	0,33
Suprarrenales	4R 4 + 4L 5	-1,42	-1,64	-1,53	0,22
S. urogenital	4R 5 + 4L 4	-1,90	-2,42	-2,16	0,52
Bazo	4R 6 + 4L 3	-1,15	-2,62	-1,89	1,47
S. nervioso	4R 7 + 4L 2	0,10	-2,35	-1,13	2,45
Hipotálamo	4R 8 + 4L 1	0,22	-0,14	0,04	0,36
Epifisis	4R 9 + 4L 9	0,24	-0,86	-0,31	1,11
Duodeno	5R 1		0,72		
Íleon	5R 2		-0,17		
S. respiratorio, mamas	5R 3 + 5L 3	-0,03	-0,65	-0,34	0,62
Riñón derecho	5R 4		-0,22		
Corazón	5R 5		0,48		
Coronarias	5R 6 + 5L 6	0,98	0,50	0,74	0,48
Corazón (lado izdo.)	5L 1	0,46			
Riñón izquierdo	5L 2	-0,27			
Yeyuno	5L 4	0,44			
Corazón (lado dcho.)	5L 5	0,79			
Coficiente de activación		8,76			
Nivel de energía vital		-0,24	-0,91	-0,58	0,67
Índ. deseq. del niv. energ. vital		0,94	1,25	1,10	-0,31
Entropía diagrama		1,79	2,21	2,00	-0,42

© Kirlionics Technologies International

Figura 10. Tabla – GDV Diagram, antes de la toma de “Esencias Trinidad® (TARAXACUM)”

## GDV Diagram

**ESENCIAS TRIUNIDAD - 05/11/2012 - Después de TARAXACUM**  
**Imágenes GDV sin filtro**

	Dedo y sector	Lado izquierdo	Lado derecho	Media	Diferencia
Ojo dcho.	1R 1 + 1L 1	-0,66	0,63	-0,02	-1,30
Oído dcho., nariz, seno maxilar	1R 2 + 1L 2	-0,10	0,43	0,17	-0,53
Maxilar, dentadura dcha.	1R 3 + 1L 3	-0,48	0,62	0,07	-1,11
Garganta, laringe, tráquea, tiroides	1R 4 + 1L 4	0,40	-0,76	-0,18	1,16
Maxilar, dentadura izda.	1R 5 + 1L 5	1,45	-0,31	0,57	1,76
Oído izdo., nariz, seno maxilar	1R 6 + 1L 6	0,56	0,01	0,28	0,54
Ojo izdo.	1R 7 + 1L 7	0,48	0,37	0,43	0,11
Cerebro (córtex)	1R 8 + 1L 8	0,03	0,26	0,15	-0,24
Cervicales	2R 1 + 2L 8	0,33	0,62	0,47	-0,30
Dorsales	2R 2 + 2L 7	0,67	0,75	0,71	-0,08
Lumbares	2R 3 + 2L 6	0,95	0,70	0,83	0,25
Sacro	2R 4 + 2L 5	2,49	0,99	1,74	1,50
Coxis, pelvis menor	2R 5 + 2L 4	2,78	0,44	1,61	2,34
Ciego	2R 6		0,68		
Apéndice	2R 7		0,30		
Colon ascendente	2R 8		0,28		
Colon transversal	2R 9 + 2L 9	0,20	0,59	0,40	-0,38
Colon descendente	2L 1	0,14			
Colon sigmoide	2L 2	0,31			
Recto	2L 3	1,91			
Tórax, s. respiratorio	3R 1 + 3L 6	0,26	0,40	0,33	-0,15
S. inmunológico	3R 2 + 3L 5	0,14	0,55	0,35	-0,41
Vesícula biliar	3R 3		0,67		
Hígado	3R 4 + 3L 3	0,68	0,35	0,51	0,34
Riñón derecho	3R 5		-0,24		
S. cardiovascular	3R 6 + 3L 1	0,18	-0,96	-0,39	1,14
Cerebro (vasos)	3R 7 + 3L 7	-0,38	-0,07	-0,23	-0,32
Riñón izquierdo	3L 2	0,68			
Abdomen	3L 4	0,70			
Hipófisis	4R 1 + 4L 8	0,71	0,69	0,70	0,02
Tiroides	4R 2 + 4L 7	0,61	0,71	0,66	-0,10
Pancreas	4R 3 + 4L 6	1,23	1,17	1,20	0,06
Suprarrenales	4R 4 + 4L 5	0,63	1,21	0,92	-0,58
S. urogenital	4R 5 + 4L 4	0,38	0,95	0,66	-0,56
Bazo	4R 6 + 4L 3	0,18	0,04	0,11	0,14
S. nervioso	4R 7 + 4L 2	0,28	-0,24	0,02	0,53
Hipotálamo	4R 8 + 4L 1	0,51	0,09	0,30	0,42
Epifisis	4R 9 + 4L 9	0,54	0,52	0,53	0,02
Duodeno	5R 1		0,22		
Íleon	5R 2		0,56		
S. respiratorio, mamas	5R 3 + 5L 3	0,92	1,29	1,11	-0,38
Riñón derecho	5R 4		0,36		
Corazón	5R 5		0,24		
Coronarias	5R 6 + 5L 6	0,53	0,22	0,38	0,31
Corazón (lado izdo.)	5L 1	0,54			
Riñón izquierdo	5L 2	0,55			
Yeyuno	5L 4	0,99			
Corazón (lado dcho.)	5L 5	0,52			
Coficiente de activación		4,04			
Nivel de energía vital		0,61	0,36	0,48	0,26
Índ. deseq. del niv. energ. vital		0,60	0,52	0,56	0,07
Entropía diagrama		1,72	1,92	1,82	-0,20

© Kirlionics Technologies International

Figura 11. Tabla – GDV Diagram, después de la toma de “Esencias Triunidad® (TARAXACUM)”

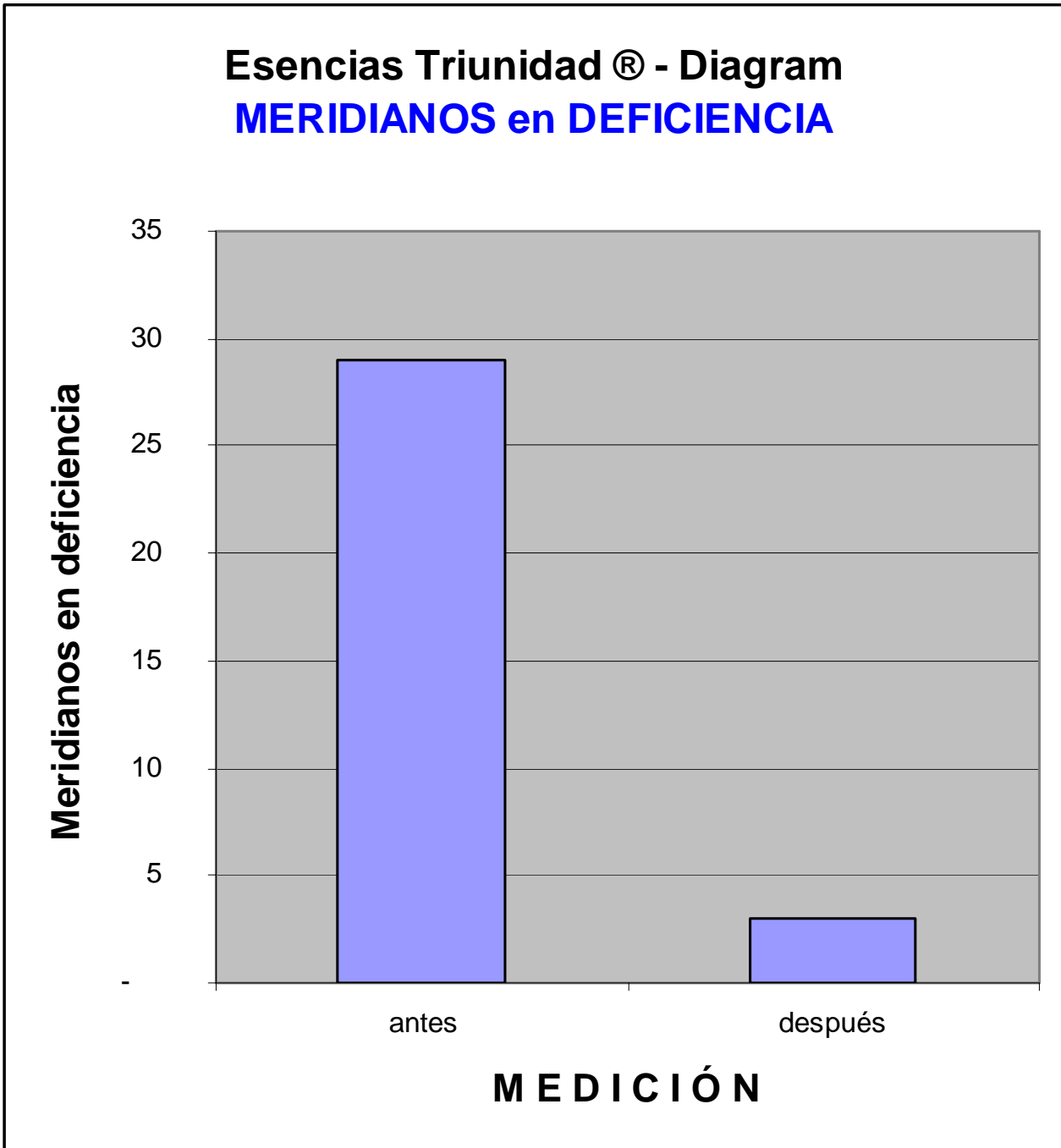


Figura 12. Diagram (Número de Meridianos en deficiencia)  
Comparativa antes VS después de la toma de "Esencias Triunidad® (TARAXACUM)"

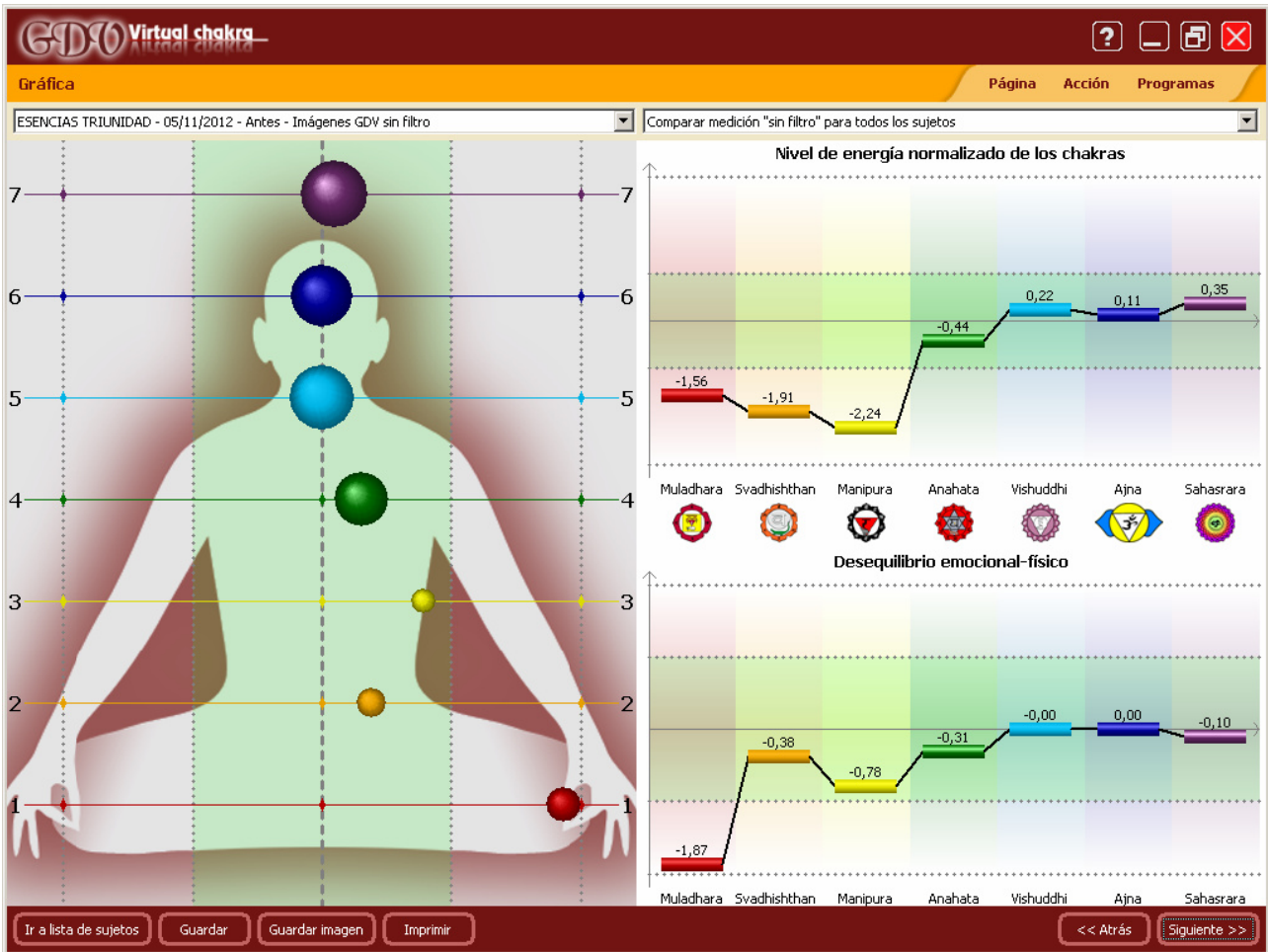


Figura 13. Virtual CHAKRA, **antes** de la toma de “Esencias Trinidad® (TARAXACUM)”

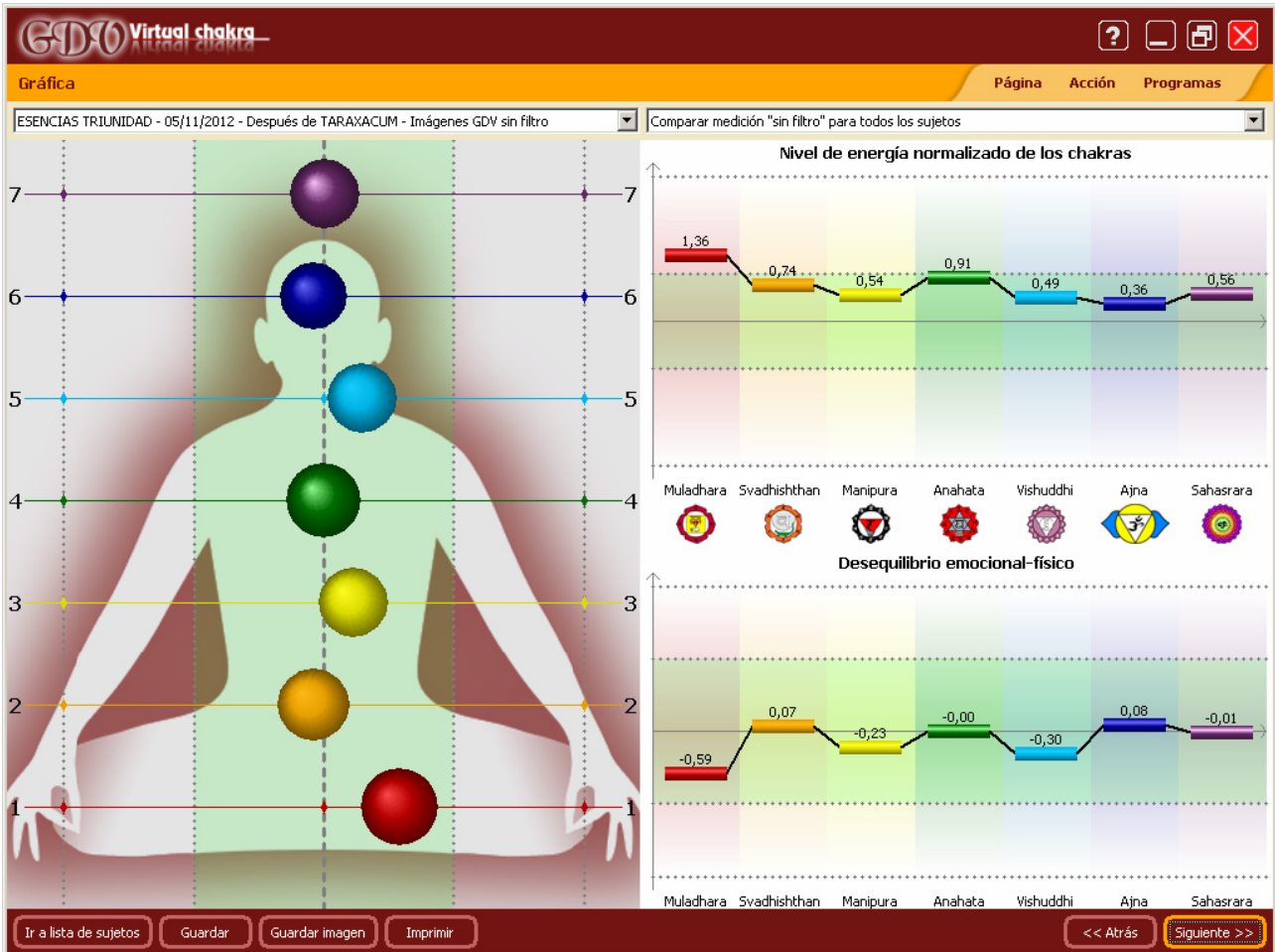


Figura 14. Virtual CHAKRA, **después** de la toma de “Esencias Trinidad® (TARAXACUM)”

ESENCIAS TRIUNIDAD - 05/11/2012 - Antes, Imágenes GDV sin filtro

	Área, mano izquierda	Área, mano derecha	Área, media	Área, diferencia	Entropía, mano izquierda	Entropía, mano derecha	Activación
SISTEMA CARDIOVASCULAR	0,30	-0,22	0,04	0,52	2,01	2,02	5,11
SISTEMA RESPIRATORIO	0,07	-0,26	-0,09	0,33	1,71	1,91	6,86
SISTEMA ENDOCRINO	-0,34	-0,59	-0,46	0,26	1,83	1,79	5,78
APARATO LOCOMOTOR	-0,73	-1,20	-0,97	0,47	1,77	1,28	8,50
SISTEMA DIGESTIVO	-0,14	-0,90	-0,52	0,77	1,78	1,76	4,57
SISTEMA UROGENITAL	-1,52	-1,97	-1,74	0,45	1,69	1,45	9,25
Apéndice		-1,08				2,10	5,20
Cerebro (vasos)	0,29	-2,43	-1,07	2,72	2,07	1,10	7,18
Cervicales	-1,94	0,04	-0,95	-1,98	1,26	1,78	8,50
Ciego		-2,08				1,61	7,48
Colon ascendente		-0,30				1,75	3,62
Colon descendente	0,37				1,37		0,98
Colon sigmoide	0,26				1,82		2,37
Colon transverso	-0,23	0,21	-0,01	-0,44	1,77	2,16	4,84
Corazón	0,62	0,48	0,55	0,14	1,96	2,23	3,88
Coronarias	0,98	0,50	0,74	0,48	2,06	2,23	3,30
Coxis, pelvis menor	0,26	-1,70	-0,72	1,96	2,02	1,08	8,50
Dorsales	-1,64	-1,28	-1,46	-0,36	1,96	1,69	8,50
Dorsales	0,81	-0,60	0,10	1,41	1,91	1,30	5,59
Duodeno		0,72				2,00	2,14
Epíflisis	0,24	-0,86	-0,31	1,11	2,01	1,58	6,58
Garganta, laringe, tráquea	0,18	0,14	0,16	0,04	1,33	1,73	5,28
Hipotálamo	0,22	-0,14	0,04	0,36	1,99	2,05	5,55
Hipófisis	0,62	1,24	0,93	-0,62	1,79	1,88	1,23
Hígado	-1,65	-2,56	-2,11	0,91	1,50	0,83	8,50
Lumbares	-0,69	-1,94	-1,31	1,25	1,46	1,02	8,50
Mamas	-0,03	-0,65	-0,34	0,62	2,08	2,08	8,44
Oídos, nariz, seno maxilar	0,36	0,31	0,34	0,04	1,92	1,79	3,51
Pancreas	-0,30	-0,64	-0,47	0,33	1,96	2,01	6,48
Recto	0,17				1,98		4,34
Riñones	-1,14	-1,51	-1,32	0,37	1,63	1,72	10,00
Sacro	0,33	-1,13	-0,40	1,46	2,14	0,84	8,50
Suprarrenales	-1,42	-1,64	-1,53	0,22	1,38	1,87	8,50
Tiroides	0,20	0,33	0,27	-0,12	1,90	1,96	3,65
Vesícula biliar		-2,23				1,19	7,26
Yeyuno	0,44				2,04		1,96
Íleon		-0,17				2,15	4,21

Figura 15. SCREENING – Tabla de Análisis de la Activación Energética. antes de la toma de “Esencias Trinidad® (TARAXACUM)”

ESENCIAS TRIUNIDAD - 05/11/2012 - Después de TARAXACUM, Imágenes GDV sin filtro

	Área, mano izquierda	Área, mano derecha	Área, media	Área, diferencia	Entropía, mano izquierda	Entropía, mano derecha	Activación
SISTEMA CARDIOVASCULAR	0,41	-0,17	0,12	0,58	2,06	2,06	4,53
SISTEMA RESPIRATORIO	0,66	0,26	0,46	0,39	1,80	1,73	5,88
SISTEMA ENDOCRINO	0,66	0,76	0,71	-0,10	1,94	1,77	3,00
APARATO LOCOMOTOR	1,44	0,70	1,07	0,74	1,84	1,77	2,53
SISTEMA DIGESTIVO	0,78	0,54	0,66	0,25	1,88	1,93	2,19
SISTEMA UROGENITAL	0,50	0,50	0,50	-0,00	1,98	2,16	3,11
Apéndice		0,30				1,71	2,07
Cerebro (vasos)	-0,38	-0,07	-0,23	-0,32	1,94	1,48	4,48
Cervicales	0,33	0,62	0,47	-0,30	2,14	1,85	3,29
Ciego		0,68				1,96	4,48
Colon ascendente		0,28				1,64	1,77
Colon descendente	0,14				1,53		2,47
Colon sigmoide	0,31				1,79		1,11
Colon transverso	0,20	0,59	0,40	-0,38	2,14	2,17	2,44
Corazón	0,53	0,24	0,39	0,29	2,06	2,08	4,16
Coronarias	0,53	0,22	0,38	0,31	2,19	2,11	3,77
Coxis, pelvis menor	2,78	0,44	1,61	2,34	1,77	1,84	3,54
Dorsales	0,67	0,75	0,71	-0,08	1,71	1,61	2,99
Dorsales	0,26	0,40	0,33	-0,15	1,92	1,91	4,41
Duodeno		0,22				2,06	2,76
Epíflisis	0,54	0,52	0,53	0,02	2,14	2,01	3,69
Garganta, laringe, tráquea	0,40	-0,76	-0,18	1,16	1,93	1,47	7,82
Hipotálamo	0,51	0,09	0,30	0,42	1,87	1,98	4,41
Hipófisis	0,71	0,69	0,70	0,02	2,06	1,53	3,10
Hígado	0,68	0,35	0,51	0,34	2,00	2,16	4,56
Lumbares	0,95	0,70	0,83	0,25	1,94	1,88	1,13
Mamas	0,92	1,29	1,11	-0,38	1,67	1,98	3,93
Oídos, nariz, seno maxilar	0,23	0,22	0,23	0,01	1,88	1,90	3,26
Pancreas	1,23	1,17	1,20	0,06	1,88	1,51	4,19
Recto	1,91				1,94		2,21
Riñones	0,61	0,06	0,34	0,56	2,07	2,08	3,64
Sacro	2,49	0,99	1,74	1,50	1,65	1,67	1,69
Suprarrenales	0,63	1,21	0,92	-0,58	2,05	1,58	2,10
Tiroides	0,61	0,71	0,66	-0,10	1,72	1,54	0,92
Vesícula biliar		0,67				2,03	0,12
Yeyuno	0,99				1,88		0,11
Íleon		0,56				2,10	0,11

Figura 16. SCREENING – Tabla de Análisis de la Activación Energética. después de la toma de “Esencias Trinidad® (TARAXACUM)”

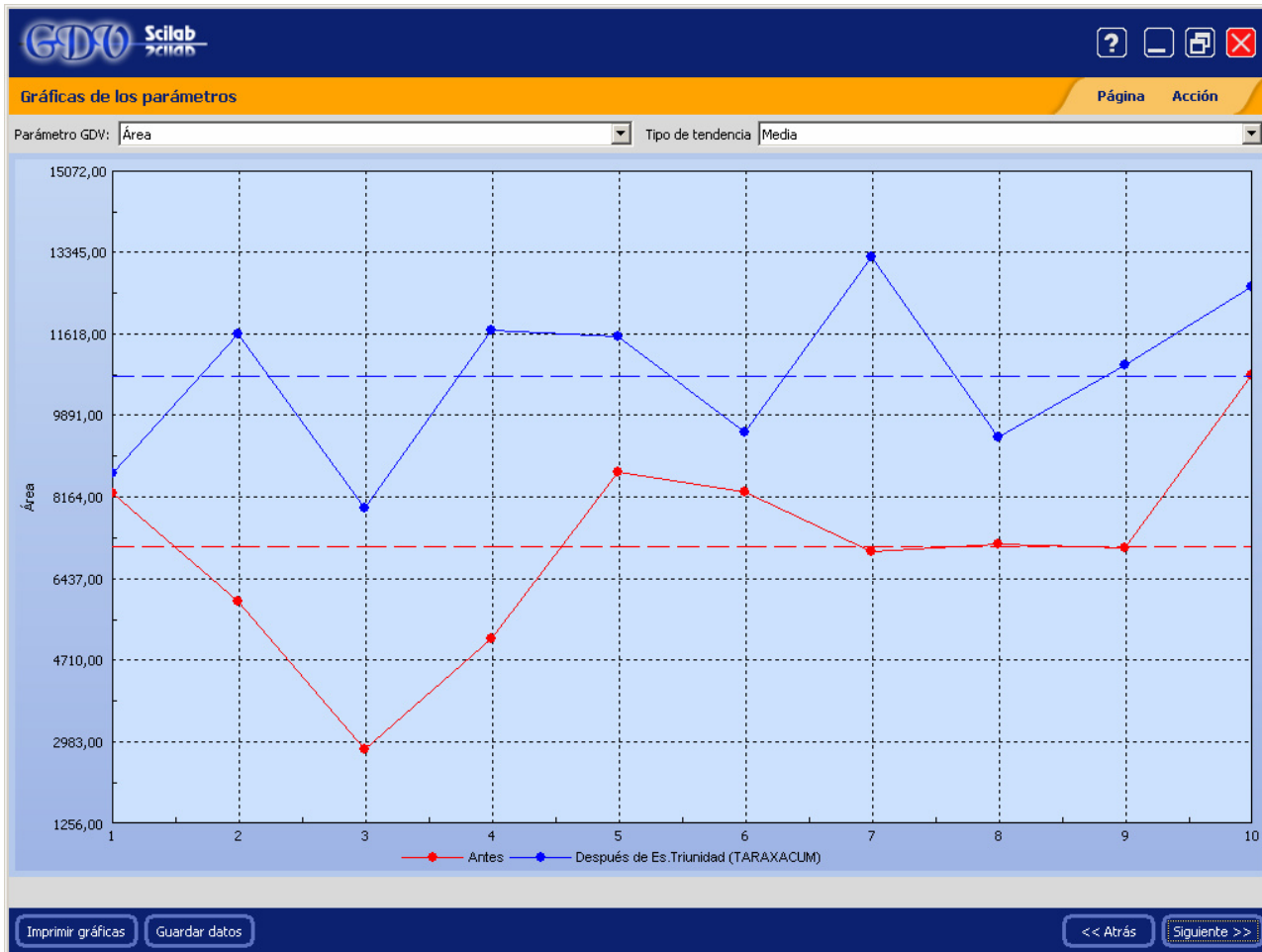


Figura 17. SCILAB, **Parámetro Cuántico: Área** – Gráfica. Antes VS Después de la toma de “Esencias Trinidad® (TARAXACUM)”

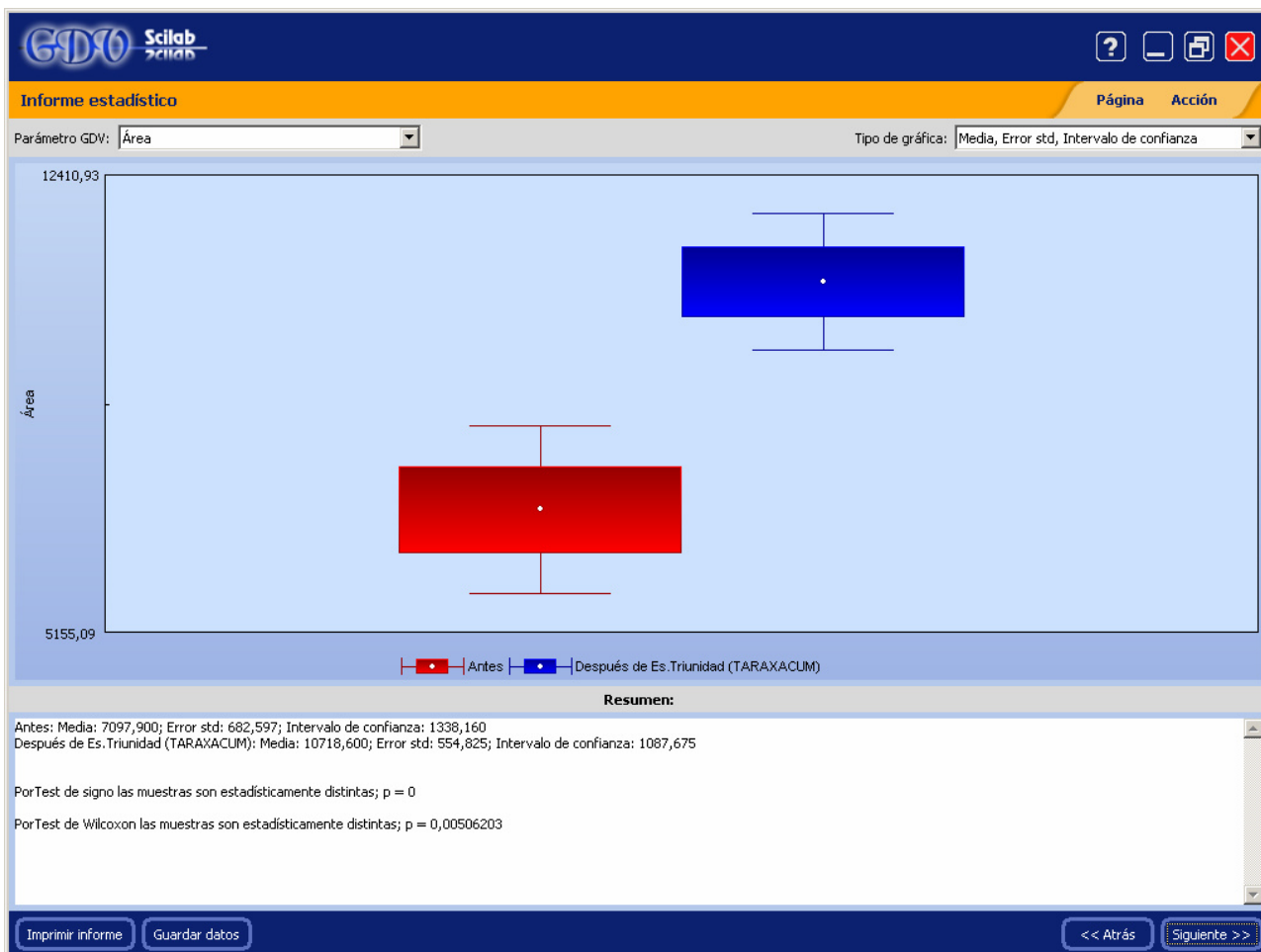


Figura 18. SCILAB, **Parámetro Cuántico: Área** – Informe Estadístico . Antes VS Después de la toma de “Esencias Trinidad® (TARAXACUM)”

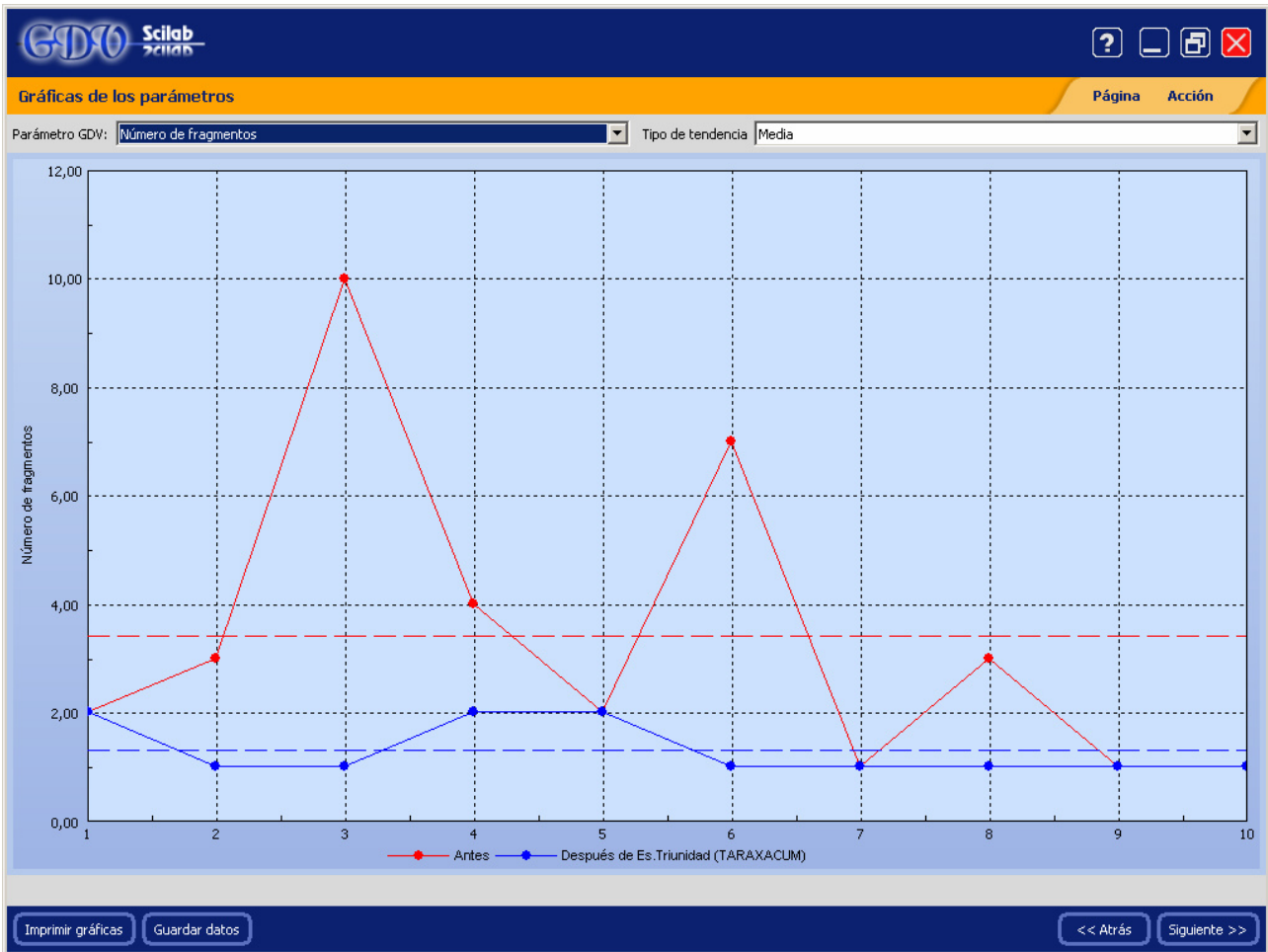


Figura 19. SCILAB, P. Cuántico: N° de Fragmentos – Gráfica .Antes VS Después de la toma de “Esencias Trinidad® (TARAXACUM)”

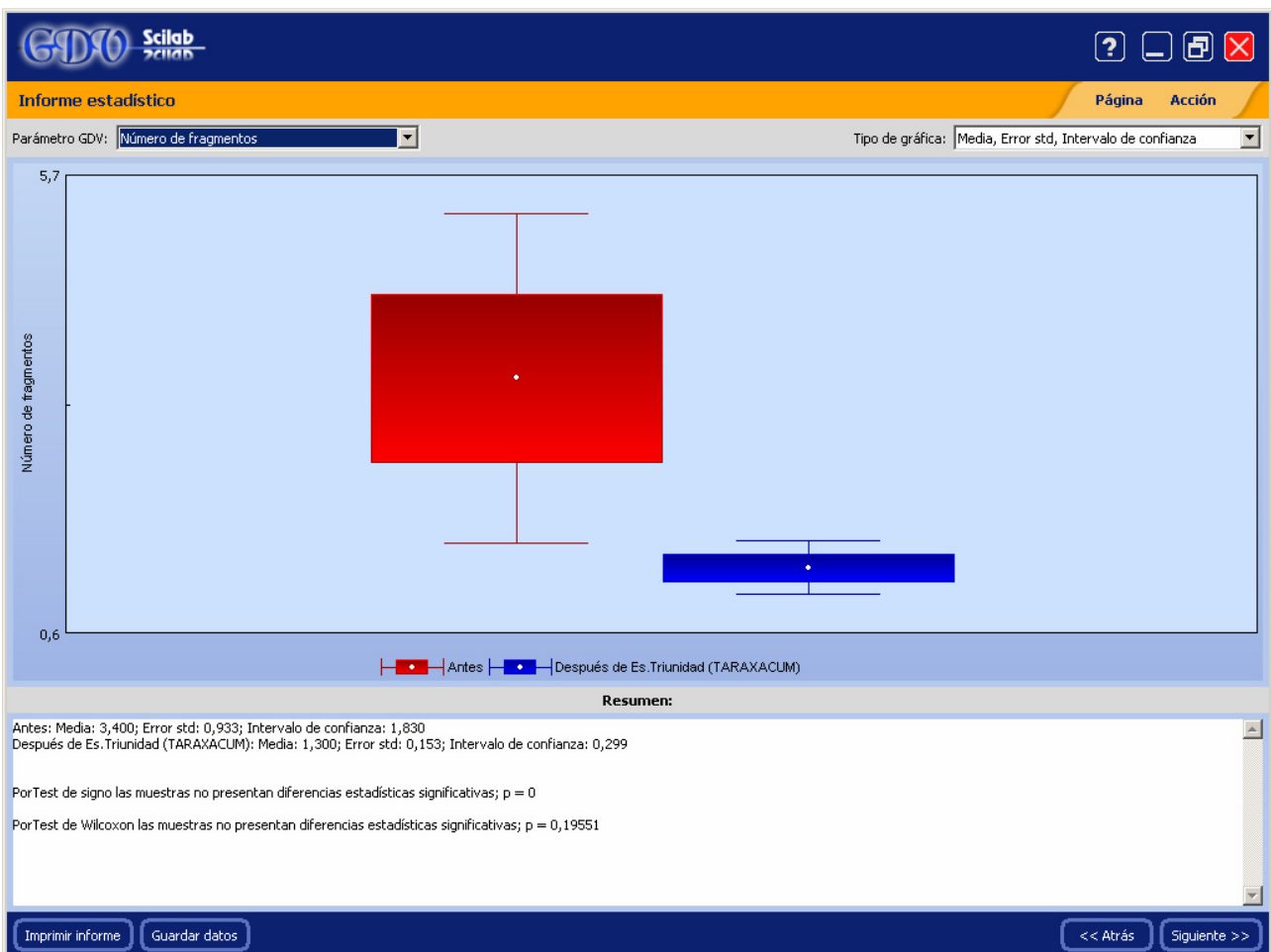


Figura 20. SCILAB, P. Cuántico: N° de Fragmentos – Informe Estadístico. Antes VS Después de la toma de “Esencias Trinidad® (TARAXACUM)”

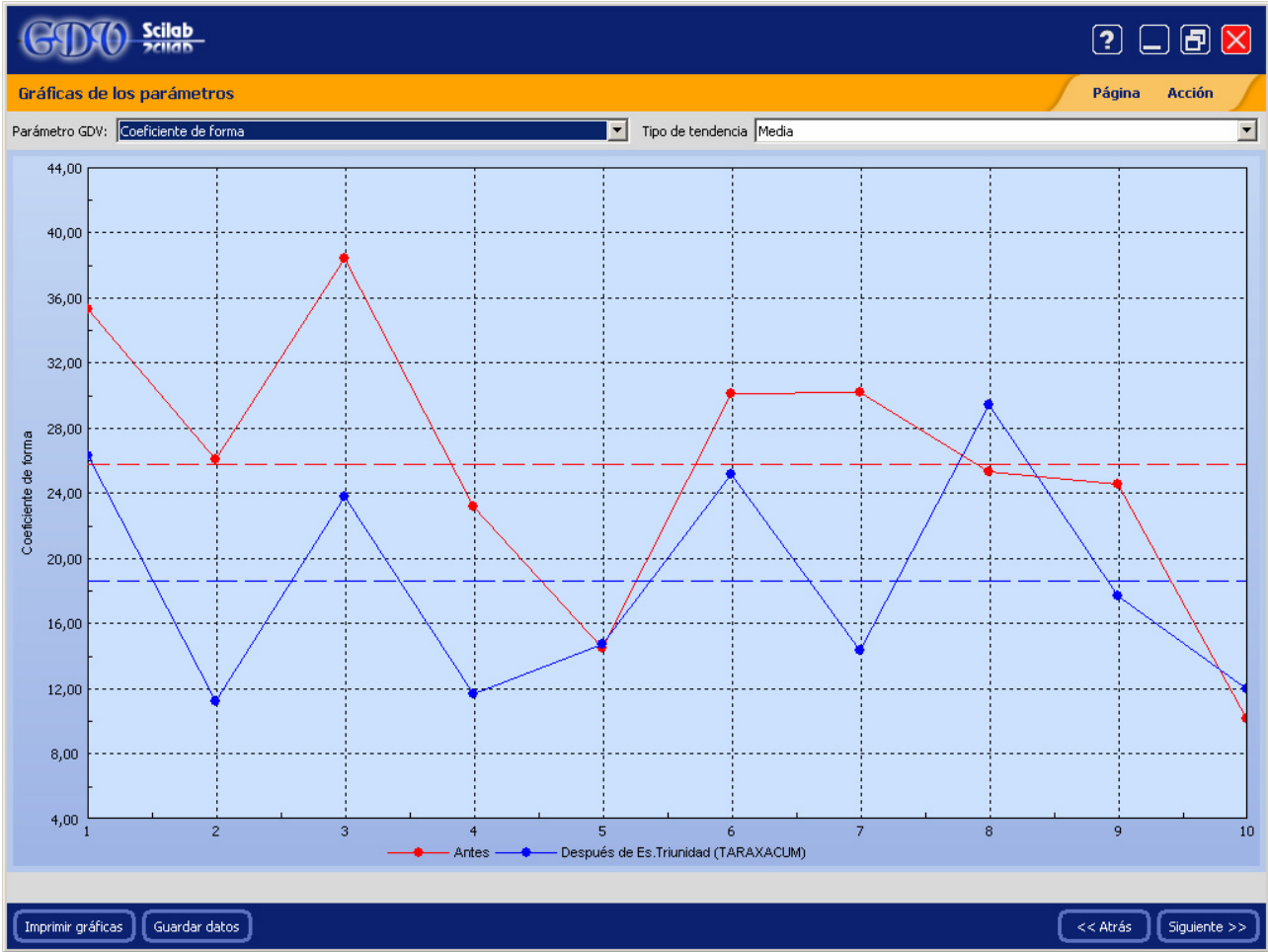


Figura 21. SCILAB, **P. Cuántico: Coeficiente de Forma** – Gráfica. Antes VS Después de la toma de “Esencias Trinidad® (TARAXACUM)”

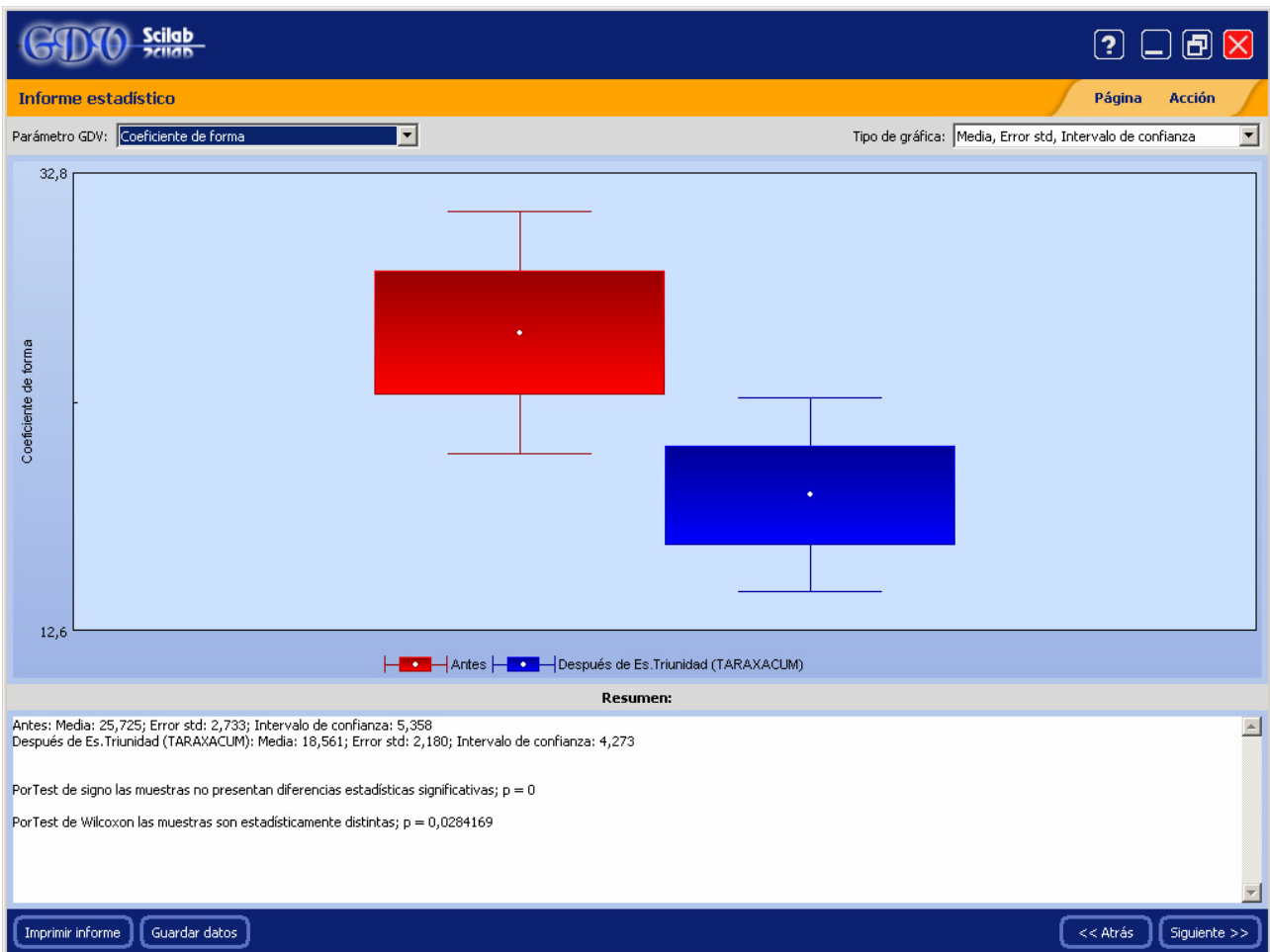


Figura 22. SCILAB, **P. Cuántico: Coeficiente de Forma** – Informe Estadístico. Antes VS Después de la toma de “Esencias Trinidad® (TARAXACUM)”



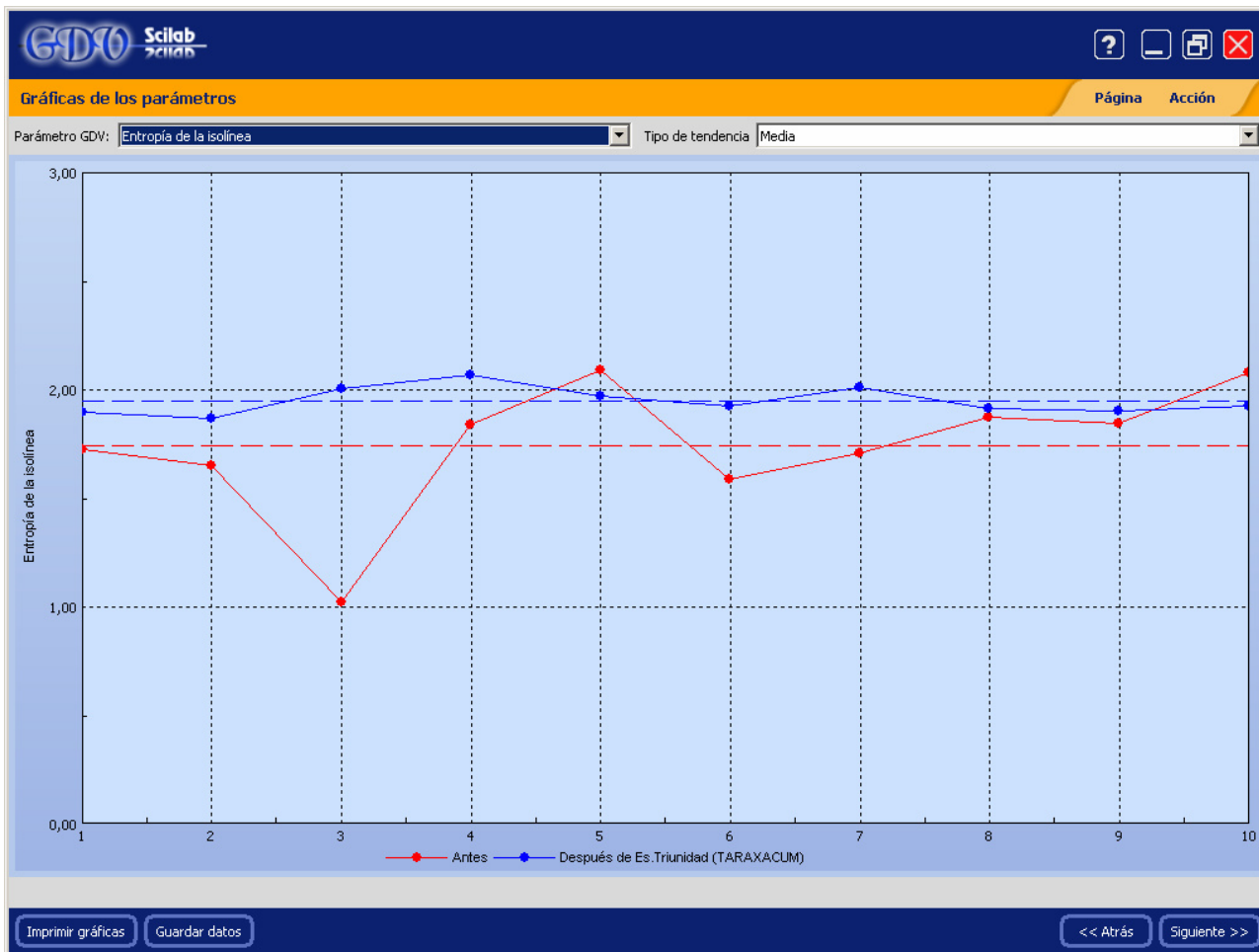


Figura 23. SCILAB, **Parámetro Cuántico: Entropía** – Gráfica. Antes VS Después de la toma de “Esencias Trinidad® (TARAXACUM)”

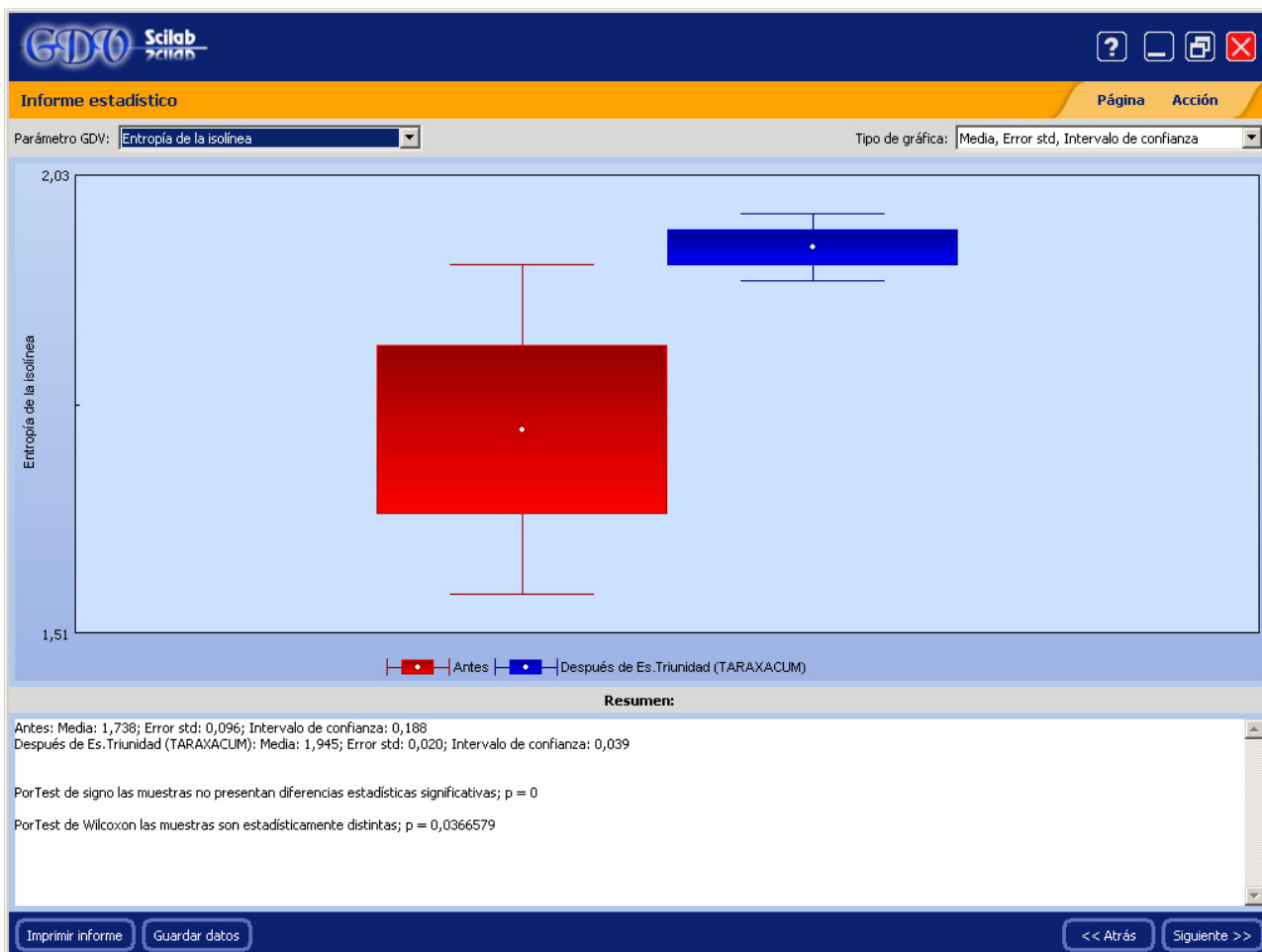


Figura 24. SCILAB, **Parámetro Cuántico: Entropía** – Informe Estadístico. Antes VS Después de la toma de “Esencias Trinidad® (TARAXACUM)”

## 5. COMENTARIOS DE LAS IMÁGENES GDV-EPC

### BioGramas

Las Figuras 01 y 02 muestran los BioGramas GDV-EPC, los BioGramas son el punto de partida de todo el análisis GDV-EPC. Lo que hace el sistema es captar la emisión electrofotónica, luz, que todo ente material emite, en este caso la emisión electrofotónica que emiten las yemas de los dedos del sujeto experimental; se miden las yemas de los dedos porque en ellas se encuentran todos los meridianos de acupuntura, pero no de la MTC (Medicina Tradicional China) que son 12, sino de la Acupuntura Su-Jok del doctor coreano, el Profesor Park, que son 49, es decir, mucha mayor precisión. La Acupuntura Coreana Su-Jok es también conocida como Acupuntura del Holograma.

El estudio es de Caso Único porque no puede ser de otra manera, es decir, el sistema GDV-EPC genera imágenes siempre para grupos de 10 BioGramas. No tiene sentido hacer el estudio con 2 ó más personas a la vez, porque los valores que se obtendrían se unificarían en las imágenes y no nos aportaría conclusión alguna. Sería como si hacemos 10 Resonancias Magnéticas a 10 personas distintas y después las unificamos en una única imagen, dicha imagen no aportaría ninguna conclusión.

Aclaremos un poco más qué es la emisión electrofotónica: Alexander Gavrilovich Gurwitsch (1874-1954) fue un biólogo ucraniano que descubrió el biofotón. Su gran aportación fue el descubrimiento de que los sistemas celulares biológicos se comunican entre sí en el rango UV (UltraVioleta), en emisión ultradébil. Es precisamente esta emisión UV lo que capta el sistema GDV-EPC, de ahí las siglas EPC, ElectroPhotonic Capture. Y también de ahí el nombre de "BioGrama", representación gráfica de la Vida. La Vida es sustentada por los electrofotones, también denominados "electrones phi", electrones que tienen asociados un fotón. Tanto esto es así que todo lo que comemos y bebemos se convierte en última instancia es estos electrones phi, son realmente nuestro alimento. De hecho podríamos vivir de la luz, algunas personas según parece lo han conseguido, y con toda seguridad lo hacen las orquídeas amazónicas, las llamadas epífitas, que viven apoyadas en las ramas de árboles a más de 30 metros de altura, alimentándose de la luz solar, no son parásitos del árbol, no se aprovechan de los árboles, simplemente están apoyadas en ellos.

Para más información sobre los electrones phi y su relevancia en los mecanismos de la biología humana revisar el revelador artículo que el **Dr. Korotkov** escribió en su día en el año 2004 en la revista científica "**Journal of Alternative and Complementary Medicine**". Recomiendo también consultar el artículo científico: "**Mecanismos biofísicos de transferencia de energía en los sistemas vivos: la base de procesos de la vida**" escrito por Konstantin Korotkov, Berney Williams y Leonard A. Wisneski. En dicho artículo se explican los procesos de transmisión de energía dentro del ser humano desde el punto de vista de los modernos modelos mecánico-cuánticos. Una alusión a dicho artículo se puede consultar en: [www.gdv.com.es/ConcienciayGDV/DSalud/Ciencia\\_y\\_medicina\\_oriental.html](http://www.gdv.com.es/ConcienciayGDV/DSalud/Ciencia_y_medicina_oriental.html). En dicho artículo, escrito por Fernando Sánchez Quintana, se explican científicamente los mecanismos de acción de las medicinas orientales. Un grupo de científicos estadounidenses y rusos afirma que ese fenómeno se fundamenta en el proceso cuántico denominado "**efecto túnel**", siendo ello lo que permite que la energía circule libremente a lo largo del cuerpo a través de las cadenas moleculares de proteínas.

### Pasemos ahora a comentar las imágenes una por una

#### Figura 01. BioGramas, **antes** de la toma de "Esencias Triunidad® (TARAXACUM)"

La Figuras 01 muestra los BioGramas del sujeto experimental antes de la toma de Esencias Triunidad® (TARAXACUM), se observa un nivel de energía muy bajo, sobre todo en los biogramas 3R, 4R y en los biogramas 1L, 3L y 4L.

#### Figura 02. BioGramas, **después** de la toma de "Esencias Triunidad® (TARAXACUM)"

Como se puede observar comparando los BioGramas ANTES vs DESPUÉS de la toma de Esencias Triunidad® (TARAXACUM) éstos se reconstruyen. Después veremos que mejoran más de lo que parece, cuando el sistema GDV-EPC cuantifique estas mediciones. El resultado es sorprendente, lo veremos más adelante en detalle.

#### Figura 03. Energy Field, **antes** de la toma de "Esencias Triunidad® (TARAXACUM)"

La Figura 03 muestra la pantalla Energy Field (Campo de Energía) antes de la toma de Esencias Triunidad® (TARAXACUM). Se aprecia claramente un nivel de energía bajo, sobre todo en los meridianos de la parte derecha del cuerpo.

#### Figura 04. Energy Field, **después** de la toma de "Esencias Triunidad® (TARAXACUM)"

La Figura 04 muestra la pantalla Energy Field (Campo de Energía) después de la toma de Esencias Triunidad® (TARAXACUM). Se aprecia claramente un aumento considerable del área electrolumínica medida. Estos datos ponen de manifiesto cómo la toma de Esencias Triunidad® (TARAXACUM) estructura y recompone el CEH. En las siguientes figuras se cuantifican los datos de las Figuras 01 a 04.

**Figura 05. Energy Field (Pixels ElectroFotónicos Activos)****Comparativa antes VS después de la toma de “Esencias Triunidad® (TARAXACUM)”**

La Figura 05 compara los pixels electrofotónicos activos antes VS después de la toma de Esencias Triunidad® (TARAXACUM). Lo más significativo es el incremento en el nivel de energía de los meridianos de la vista central y de la vista derecha, un 57% y un 50% respectivamente..

Los incrementos del nivel de energía son:

- Vista Central: 57%
- Vista Izquierda: 19%
- Vista Derecha: 50%

**Figura 06. Diagram, antes de la toma de “Esencias Triunidad® (TARAXACUM)”**

La Figura 06 muestra la pantalla Diagram antes de la toma de Esencias Triunidad® (TARAXACUM).

Esta pantalla cuantifica la información de los BioGramas dándonos una referencia sobre el equilibrio energético de los principales meridianos que mide el Sistema GDV-EPC. La Zona amarilla indica exceso energético, la zona verde equilibrio y la zona rosa deficiencia energética. Los trazos rojos indican la medida Sin Filtro y los trazos azules las medidas Con Filtro.

El lado derecho tiene un nivel de desequilibrio muy muy alto, y el izquierdo muy alto.

Antes de la toma de Esencias Triunidad® (TARAXACUM) hay 29 meridianos en desequilibrio.

**Figura 07. Diagram, después de la toma de “Esencias Triunidad® (TARAXACUM)”**

La Figura 07 muestra la pantalla Diagram después de la toma de Esencias Triunidad® (TARAXACUM).

En la Figura 07 se aprecia cómo se han recuperado energéticamente 26 meridianos que estaban en deficiencia, quedando tan solo 3 en deficiencia.

Se verifican de nuevo cómo la toma de Esencias Triunidad® (TARAXACUM) beneficia y estructura el CEH, en esta ocasión en la pantalla Diagram, que es la cuantificación de la medida tomada: emisión electrofotónica del ser humano.

**Figura 08. Nivel de Energía Vital, antes VS después de la toma de “Esencias Triunidad® (TARAXACUM)”**

La Figura 08 muestra el Nivel de Energía Vital global, pormenorizado por el lado izquierdo y el lado derecho del cuerpo, comparando dicho nivel antes VS después de la toma de Esencias Triunidad® (TARAXACUM).

Antes de la toma los meridianos de la mano derecha estaban en deficiencia energética, en su globalidad. Después se regulan. Y los de la mano izquierda mejoran su nivel de energía.

**Figura 09. Coeficiente de Activación, antes VS después de la toma de “Esencias Triunidad® (TARAXACUM)”**

La Figura 09 muestra el Coeficiente de Activación. Este coeficiente se calcula comparando los Biogramas Sin Filtro con los Con Filtro. El nivel óptimo está entre 2 y 4. De 4 a 6 es un nivel alto, de 6 a 8 muy alto, y más de 8 altísimo. Esta gráfica muestra el Coeficiente de Activación medio de todos los meridianos del cuerpo, comparando el antes VS después. Antes de la toma de Esencias Triunidad® (TARAXACUM) estaba a 8,76 es decir, nivel altísimo (mayor que 8); y después a 4,04, a cuatro centésimas del nivel óptimo (2 a 4). Se aprecia claramente cómo la toma de Esencias Triunidad® (TARAXACUM) ha “relajado” el sistema energético.

**Figura 10. Tabla – GDV Diagram, antes de la toma de “Esencias Triunidad® (TARAXACUM)”**

La Figura 10 muestra los valores cuantificados del Diagram, antes, expuestos en valores numéricos en una tabla, comparando el antes VS después de la toma de Esencias Triunidad® (TARAXACUM).

**La Figura 11. muestra los valores cuantificados del Diagram, después.**

Hagamos la comparativa por cada lado:

En el **lado derecho** del cuerpo, antes hay 19 meridianos en deficiencia, y después hay 2 meridianos en deficiencia, es decir, una mejoría muy notable.

En el **lado izquierdo** del cuerpo, antes hay 10 meridianos en deficiencia, y después hay 1 meridiano en deficiencia. Es decir, una mejoría muy notable aquí también.

**Figura 12. Diagram (Número de Meridianos en deficiencia)****Comparativa antes VS después de la toma de “Esencias Triunidad® (TARAXACUM)”**

En esta tabla se muestran el número de meridianos en deficiencia antes VS después.

Antes de la toma de esencias la persona tenía 29 meridianos en deficiencia, después sólo tres.

Es una mejora muy positiva.

**Figura 13. Virtual CHAKRA, antes de la toma de “Esencias Triunidad® (TARAXACUM)”****Figura 14. Virtual CHAKRA, después de la toma de “Esencias Triunidad® (TARAXACUM)”**

Las Figuras 12 y 13 muestran la pantalla “Virtual Chakra”. El Sistema GDV-EPC no mide los chakras directamente, no conozco ninguna máquina que lo haga, no digo que no exista, digo que no la conozco. De ahí el nombre de “virtual”. El Sistema GDV-EPC se basa en la correlación meridianos-chakras para informarnos del estado de los mismos.

Muestra dos informaciones, el nivel de energía y el de simetría. Este último informa del equilibrio Yin-Yang, nivel emocional-nivel mental, hemisferio derecho-hemisferio izquierdo, intuición-acción.

**Nivel de Energía:** Antes de la toma de Esencias Triunidad® (TARAXACUM) el nivel de energía de los chakras 1º, 2º y 3º era muy bajo. Después se recuperan los tres chakras.

**Simetría hemisférica:** Antes de la toma de Esencias Triunidad® (TARAXACUM) el chakra 1º no tiene simetría correcta y el 3er. Chakra está en el límite.

Después los 7 chakras están en simetría correcta. De nuevo se comprueba que la toma de Esencias Triunidad® (TARAXACUM) beneficia el CEH.

Figura 15. SCREENING – Tabla de Análisis de la Activación Energética - **antes**.

Figura 16. SCREENING – **después** de la toma de “Esencias Triunidad® (TARAXACUM)”

La pantalla Screening muestra la activación energética de los meridianos más importantes, mide el “estrés” energético. La activación normal es de 2 a 4, de 4 a 6 es una activación alta pero “aceptable”, de 6 a 8 es ya alta, y mayor de 8 es muy alta.

Antes de la medición hay 9 meridianos que superan la activación de 8, después de la toma de esencias triunidad® (TARAXACUM) los 9 meridianos se regulan a valores normales, excepto “garganta” que se queda en 7,82.

Figura 17. SCILAB, **Parámetro Cuántico: Área** – Gráfica

Antes VS Después de la toma de “Esencias Triunidad® (TARAXACUM)”

Figura 18. SCILAB, **Parámetro Cuántico: Área** – Informe Estadístico

Antes VS Después de la toma de “Esencias Triunidad® (TARAXACUM)”

Llega ahora el momento de analizar los resultados desde un punto de vista estadístico. Para los cálculos utilizamos el programa SciLab (Scientific Laboratory). Es, tal vez, la parte del artículo más árida pero también más contundente porque nos va a informar sobre la significatividad o no de la eficacia de la toma de Esencias Triunidad® (TARAXACUM) para reconstruir el CEH. Es decir, nos va a indicar si las diferencias “ANTES versus DESPUÉS” son significativas o no son significativas, dicho de otro modo más comprensible, nos va a informar si los cambios se deben o no al azar. Cuando la probabilidad “p” es menor o igual al 5% se dice que las medidas muestran diferencias significativas, y que hay un 95% de probabilidad de que los cambios no se deban al azar, es decir, que la toma de Esencias Triunidad® (TARAXACUM) es eficaz. Si la “p” es menor o igual al 1% se dice que las medidas muestran diferencias muy significativas, y que hay un 99% de probabilidades de que los cambios no se deban al azar. Si la p es menor que el 1% se dice que las diferencias son “muy altamente significativas”.

La información referente al SciLab y a la interpretación de cada uno de los 4 parámetros cuánticos analizados (Área, Nº de Fragmentos, Coeficiente de Forma, Entropía) se indica en azul, como en este párrafo.

La Figura 17 muestra el Área antes VS después de modo gráfico.

El **Área** es el número de pixels “iluminados”, a mayor área, mayor energía.

La Figura 18 muestra el Área antes VS después desde un punto de vista estadístico. Se aprecia un aumento del área total, con un valor de p del 0,5%, es decir, “muy altamente significativo”.

Figura 19. SCILAB, **Parámetro Cuántico: Número de Fragmentos** – Gráfica

Antes VS Después de la toma de “Esencias Triunidad® (TARAXACUM)”

Figura 20. SCILAB, **Parámetro Cuántico: Número de Fragmentos** – Informe Estadístico

Antes VS Después de la toma de “Esencias Triunidad® (TARAXACUM)”

La Figura 19 muestra el **Número de Fragmentos** antes VS después de modo gráfico.

El **Número de fragmentos** es el número de trozos aislados que aparecen iluminados en la imagen, por lo general, a mayor número de fragmentos peor patrón energético, porque indica que la energía se está dispersando. Hay una excepción: en deportistas de élite, cuando visualizan su prueba y entran en un estado ampliado de conciencia, baja el área y aparecen muchos fragmentos. En todos los demás casos cuantos menos fragmentos haya mejor.

La Figura 20 muestra el Número de Fragmentos antes VS después. Los fragmentos han disminuido de modo significativo en número y dispersión, sin embargo el valor de p alcanzado, 19,55%, no es significativo porque el valor medio de la medición “después” entra dentro del rango de la primera medición. Pero es evidente la mejoría alcanzada en este parámetro, aunque no haya significatividad estadística, hay muchos menos fragmentos y están menos dispersos.

Figura 21. SCILAB, **Parámetro Cuántico: Coeficiente de Forma** – Gráfica  
Antes VS Después de la toma de “Esencias Triunidad® (TARAXACUM)”

Figura 22. SCILAB, **Parámetro Cuántico: Coeficiente de Forma** – Informe Estadístico  
Antes VS Después de la toma de “Esencias Triunidad® (TARAXACUM)”

La Figura 21 muestra el **Coeficiente de Forma** antes VS después de modo gráfico.

El **Coeficiente de forma** es el cociente entre la longitud del contorno exterior y la longitud de la elipse que forman los puntos promedio. Indica el nivel de estabilidad. Es una medida de la distorsión de la imagen.

Se utiliza para clasificar, junto con la Entropía, los distintos tipos de Biogramas. A mayor Coeficiente de forma mayor inestabilidad, es decir, que “interesa” que baje.

La Figura 22 muestra el Coeficiente de Forma antes VS después de la toma de Esencias Triunidad® (TARAXACUM). El valor ha disminuido de modo muy significativo, su valor de p es de 2,84%. Esta disminución indica que toma de Esencias Triunidad® (TARAXACUM) genera estabilidad y cohesión en la estructura del CEH de modo muy significativo.

Figura 23. SCILAB, **Parámetro Cuántico: Entropía** – Gráfica  
Antes VS Después de la toma de “Esencias Triunidad® (TARAXACUM)”

Figura 24. SCILAB, **Parámetro Cuántico: Entropía** – Informe Estadístico  
Antes VS Después de la toma de “Esencias Triunidad® (TARAXACUM)”

La Figura 23 muestra la **Entropía** antes VS después de modo gráfico.

La **Entropía** indica el grado de comunicación en el sistema energético. A mayor entropía, mayor comunicación interna a nivel energético.

¡Atención! No confundir con la “entropía termodinámica”, que mide el grado de desorden de un sistema.

En mi experiencia esta variable y la Fractalidad no son fácilmente modificables. El hecho de que la toma de Esencias Triunidad® (TARAXACUM) haya modificado favorablemente este parámetro es muy a tener en cuenta.

La Figura 24 muestra la Entropía antes VS después de la toma de Esencias Triunidad® (TARAXACUM). El valor ha aumentado de modo muy significativo, su valor de p es 3,66%. Este cambio es muy positivo y muestra de nuevo la capacidad de la toma de Esencias Triunidad® (TARAXACUM) para favorecer la comunicación interna a nivel energético en el CEH.

## 6. CONCLUSIONES

El análisis de los datos obtenidos concluye que se han comprobado la hipótesis de partida:

Que la toma de Esencias Trinidad® mejora y re-estructura el estado del CEH de la persona.

Los resultados de las mediciones analizadas en este estudio son concluyentes, y podemos afirmar que la toma de Esencias Trinidad® mejora de modo significativo el campo de energía humano (CEH) de la persona que las toma. Re-equilibra, por tanto, el sistema de meridianos y el CEH.

A modo de resumen, se han seleccionado las Figuras 13 y 14. Son las pantallas de Virtual Chakra. Esta pantalla unifica en 7 niveles los 49 meridianos que mide el sistema GDV-EPC, trabaja con medias aritméticas. Si un solo chakra está desequilibrado indica que realmente los meridianos a los que está asociado están desequilibrados.

El Sistema GDV-EPC se basa en la correlación meridianos-chakras para informarnos del estado de los mismos.

Muestra dos informaciones, el nivel de energía y el de simetría. Este último informa del equilibrio entre pares de opuestos: nivel emocional-nivel mental, hemisferio derecho-hemisferio izquierdo, intuición-acción.

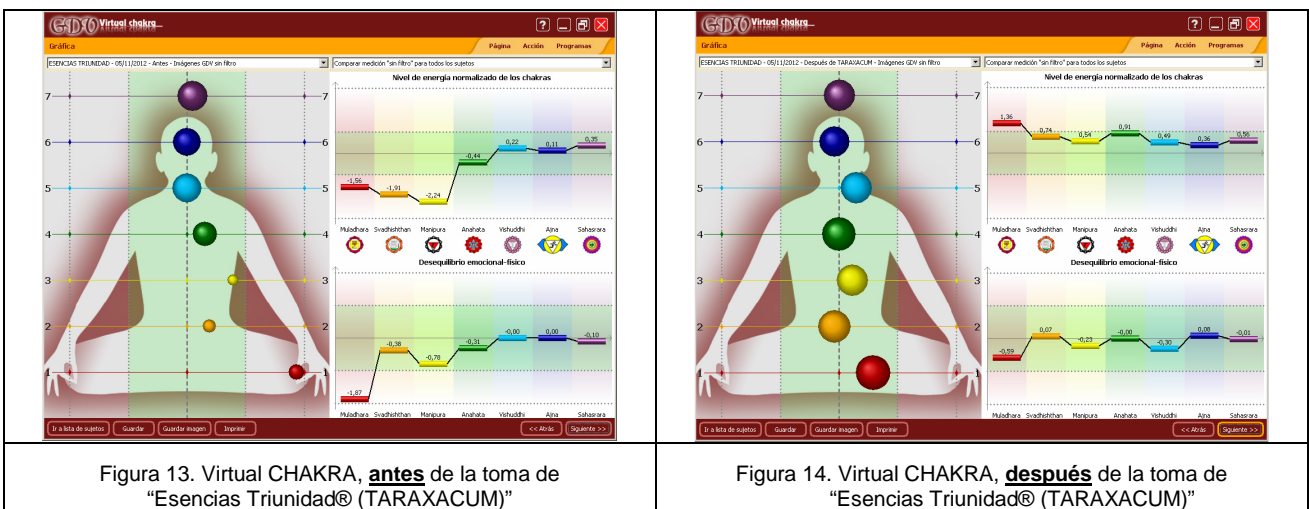


Figura 13. Virtual CHAKRA, **antes** de la toma de "Esencias Trinidad® (TARAXACUM)"

Figura 14. Virtual CHAKRA, **después** de la toma de "Esencias Trinidad® (TARAXACUM)"

La **Figura 13** muestra la pantalla "Virtual Chakra" antes de la toma de "Esencias Trinidad® (TARAXACUM)", se aprecia claramente que el nivel de desequilibrio energético es alto. Se aprecia de un modo inequívoco cómo están alterados tanto el nivel de energía, como el nivel de intuición-acción.

### Nivel de Energía:

Antes de la toma de "Esencias Trinidad® (TARAXACUM)" tres de los 7 chakras tienen un nivel de Energía muy bajo.

### Simetría hemisférica:

Antes de la toma de "Esencias Trinidad® (TARAXACUM)" dos de los 7 chakras están desequilibrados

La **Figura 14** muestra la pantalla "Virtual Chakra" después de la toma de "Esencias Trinidad® (TARAXACUM)", se ve claramente cómo se ha recuperado el equilibrio energético de un modo muy significativo.

### Nivel de Energía:

Después de la toma de "Esencias Trinidad® (TARAXACUM)" todos los chakras tienen un nivel de Energía correcto.

### Simetría hemisférica:

Después de la toma de "Esencias Trinidad® (TARAXACUM)" los 7 chakras están dentro del rango de equilibrio.

Antzuola, a 24 de Diciembre de 2012

Eusebio González Martín

Ingeniero Técnico – Licenciado en Psicología

Investigador en Bioelectrografía autorizado por la **IUMAB\*-España**

(\*International Union of Medical and Applied Bioelectrography)

**7. ANEXO**

**TECNOLOGÍA GDV-EPC.** La Bioelectrografía GDV-EPC es la tecnología que permite estudiar desde el método científico el Campo de Energía Humano (CEH), de vital importancia para la salud. Fue creada en la Universidad de San Petersburgo, Rusia, por el prof. Korotkov. Ha sido reconocida por organismos oficiales como los Ministerios ruso y estadounidense de Salud.

**REFERENCIA CIENTÍFICAS Y DE INSTITUCIONES****National Institute of Health (EE. UU.)**

El National Institute of Aging, perteneciente al Ministerio de Salud Norteamericano (NIH), organizó en Abril del 2002 una conferencia internacional: "Mediciones del Campo de Energía Humano, estado de la ciencia", que giró entorno a la técnica GDV-EPC. En él aparece un protocolo para evaluar la exactitud de discriminación entre personas enfermas y sanas con el método GDV-EPC. El protocolo ha sido aprobado por el Internal Review Board del National Institutes of Health y los resultados del estudio han sido positivos. Esta aprobación es requerida en todos los protocolos clínicos de EEUU para la protección de los seres humanos.

**Journal of Applied Physics**

Es una de las revistas científicas de Física más prestigiosas. En ella publicó Albert Einstein muchas de sus investigaciones. Los artículos en ella divulgados pasan rigurosos controles para asegurarse que se encuentran en la línea de una rigurosa metodología científica. El profesor Korotkov ha publicado un artículo sobre aplicaciones con la técnica GDV-EPC: Korotkov K., Korotkin D. Concentration dependence of gas discharge around drops of inorganic electrolytes. J of Applied Physics, 2001, V. 89. N 9, pp. 4732-4737

**Med-Line**

Es la base de datos más completa existente en el mundo sobre medicina. Parte de ella puede consultarse por Internet. En 2004 se publicó el artículo del prof. Korotkov: *Mecanismos de Transferencia de Energía Biofísica en los Sistemas Vivos: Las Bases de los Procesos de la Vida*. En él, a partir del "efecto cuántico de túnel" explica los mecanismos de transferencia de energía. "La noción de transferencia de energía característica de las ideas de la medicina de Oriente, ajenas a la mayoría de las personas con una educación europea, puede estar asociada con el transporte de electrones en estados excitados a través de los complejos moleculares de proteínas."

**Ministerio Ruso de Deporte**

El Ministerio Ruso de Deporte ha firmado un convenio con los proveedores de la Tecnología GDV-EPC por el cual ésta se aplica en todos los Centros de Entrenamiento Olímpico de Rusia.

**Universidades e Instituciones.**

Esta tecnología se utiliza en universidades e instituciones de los cinco continentes. En EEUU se investiga con ella en las Universidades de Nevada y Arizona y en la Clínica Mayo. Se han publicado más de 20 documentos científicos sobre investigaciones con dicha técnica en prestigiosas revistas científicas, y también existen varios libros sobre el tema.

(En castellano: "*Aura y Ciencia*". Autor: Fernando Sánchez. Editorial: Mandala Ediciones 2000).

□

